

18F-FDG PET CT and liver metastases from colo- rectal cancer

Eric ZERBIB

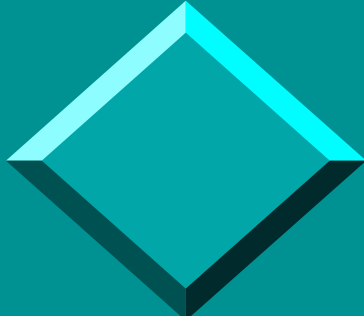
CIMEN (www.cimen.fr)

Centre Chirurgical Val d 'Or

14 rue Pasteur

92210 Saint-Cloud

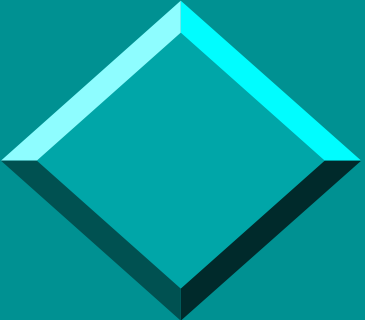
eric.zerbib@cimen.fr



18F-FDG PET CT and liver metastases from colo- rectal cancer

Preliminary comments :

- ✓ FDG PET is not a specific investigation for liver studies. It makes the scanning of the whole body (excepted brain) and is efficient in the diagnosis of liver metastases including liver metastases from colo-rectal cancer.
- ✓ FDG PET is not anatomopatholgy ! It investigates glucosis metabolism which is special IN MOST OF cancerous cells. This have important consequences for interpretation.

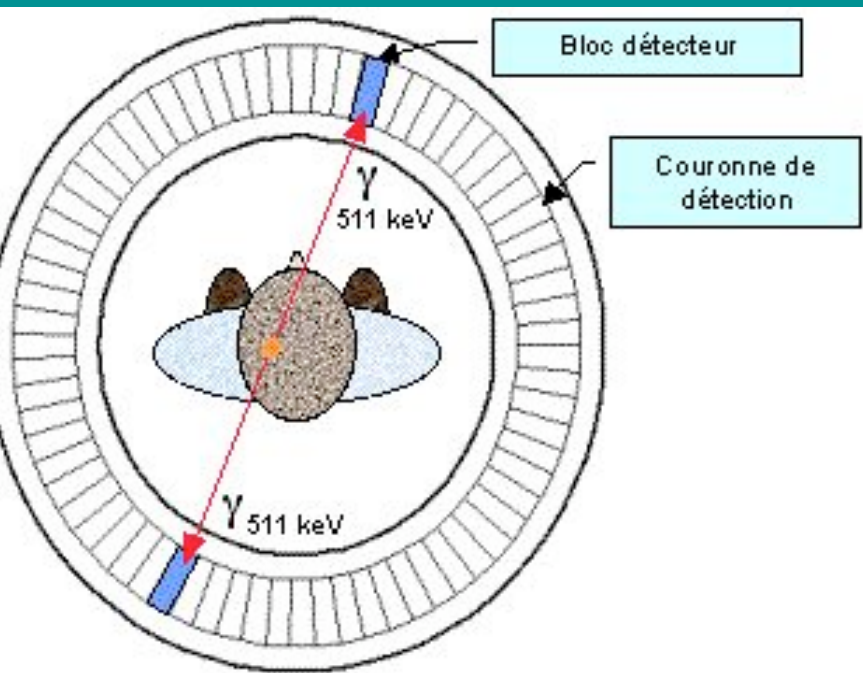
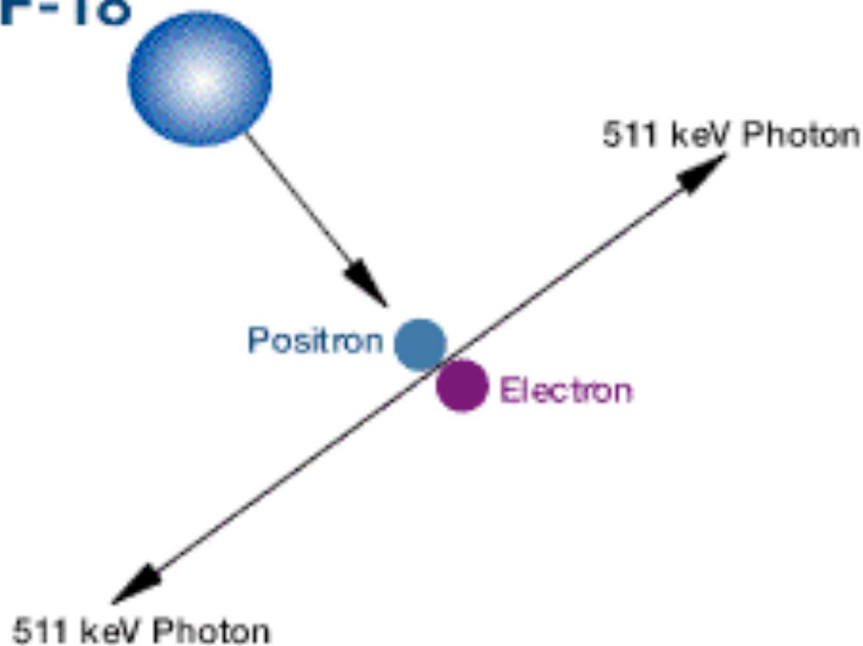


PET and PET-CT and isotopes

Background :

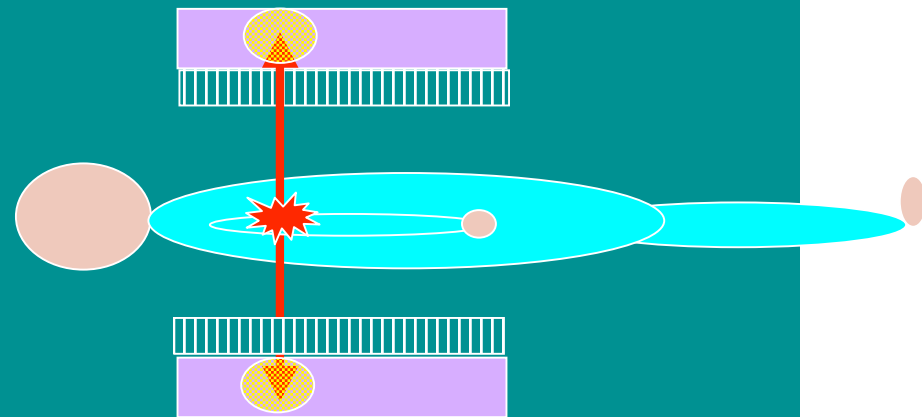
- ✓ PET : detection of a couple of photons coming from the disintegration of one positron
- ✓ CT : computed tomography
- ✓ PET-CT : makes the fusion of the two acquisitions : but makes attenuation correction very important to see the deep organs and helps us to see the anatomy which cannot be appreciate by PET pictures only
- ✓ Radiopharmaceutical : is specific of an organ or a system : FDG, Choline, F-DOPA, FLT, Rubidium

F-18



Background

- ${}^{18}\text{F}$: radioactive isotope
Half live : 110 min
- positron annihilation with an électron and emission of $2 \times 511 \text{ keV}$ photons

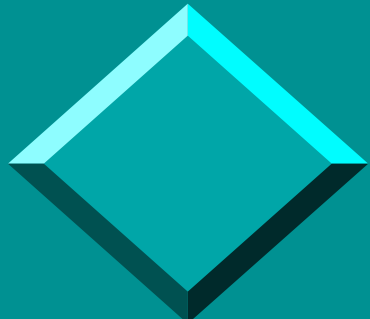


Caméra hybride TEP-TDM

Détecteur TEP

Anneau TDM

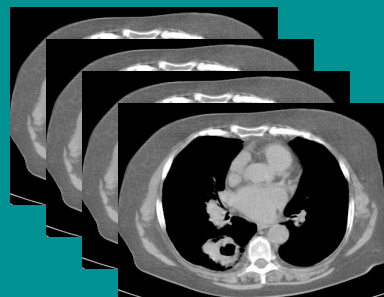
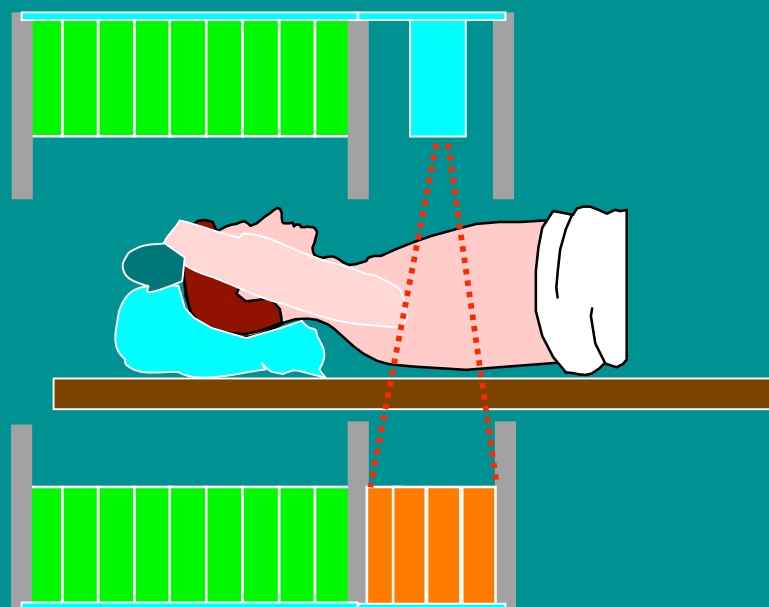




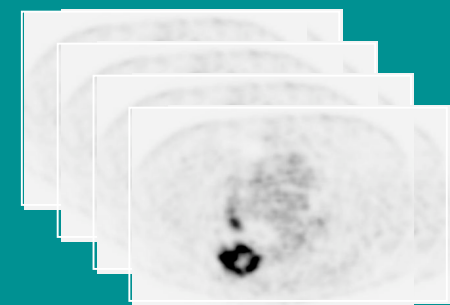
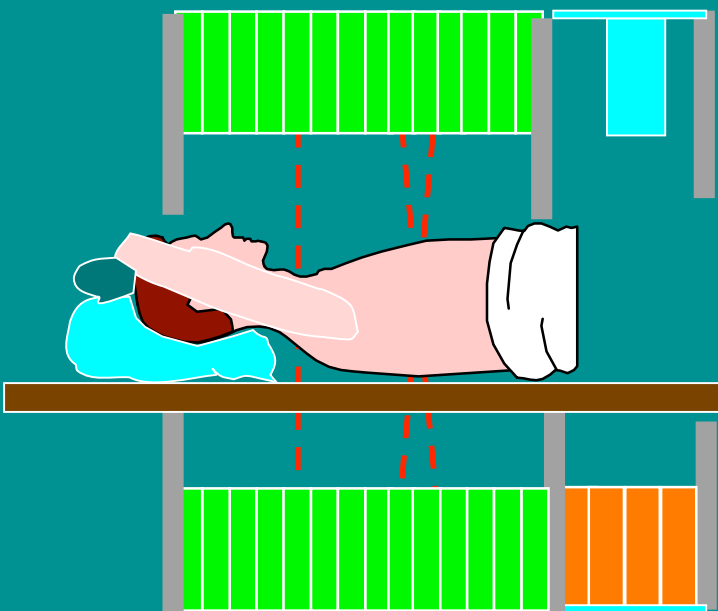
Acquisition des images

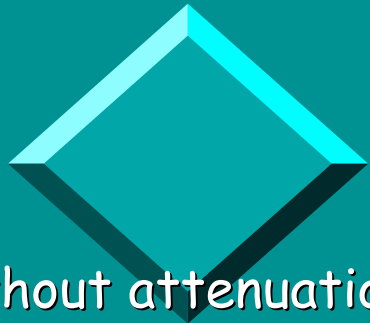


Transmission



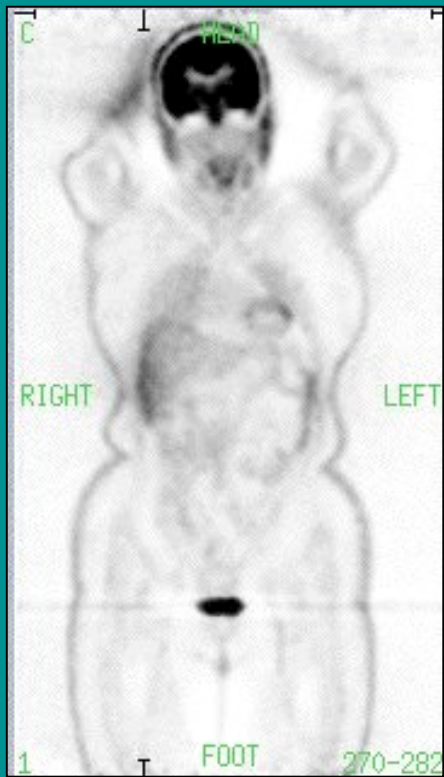
Emission



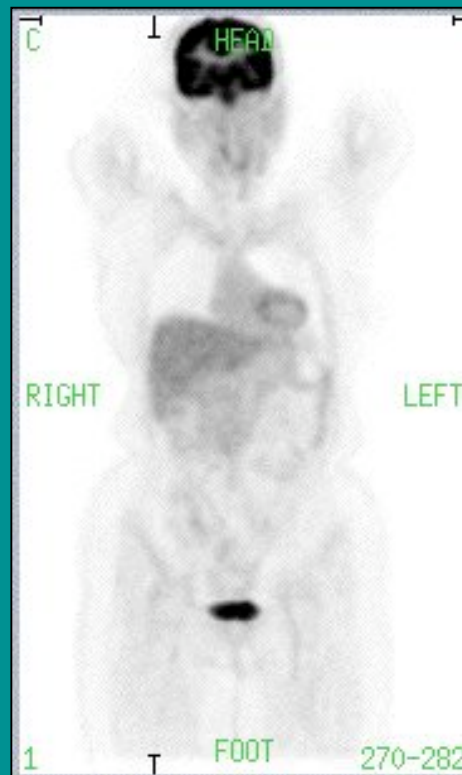


Images TEP - ^{18}F -FDG

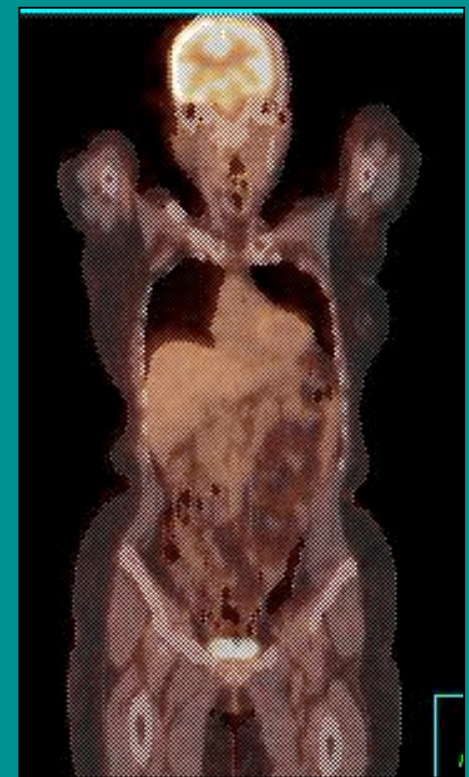
without attenuation correction



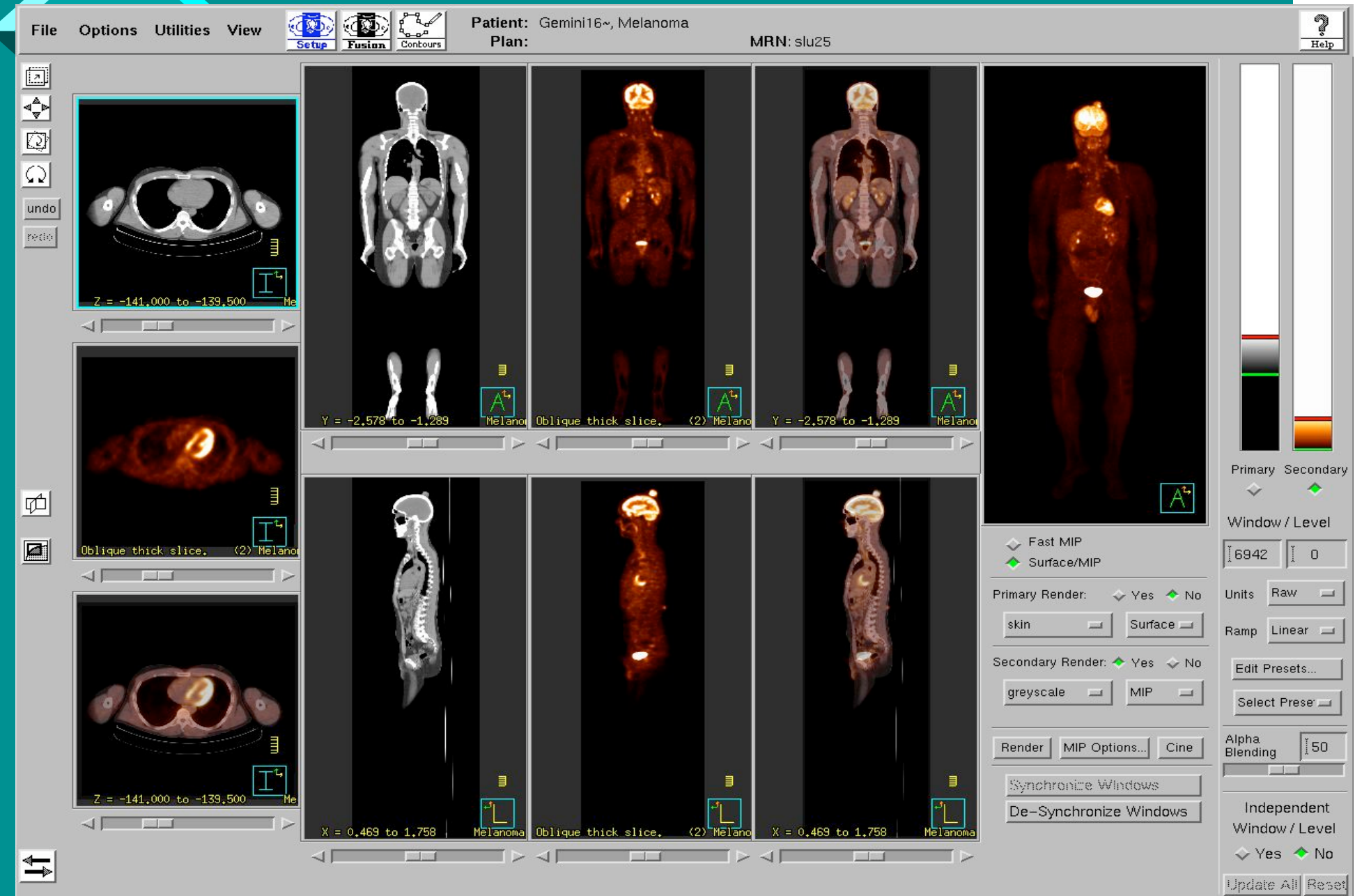
with attenuation correction



Fusion PET-CT

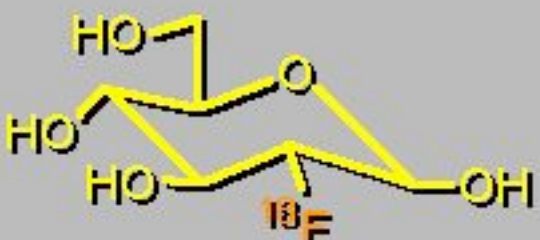


PET-CT Fusion

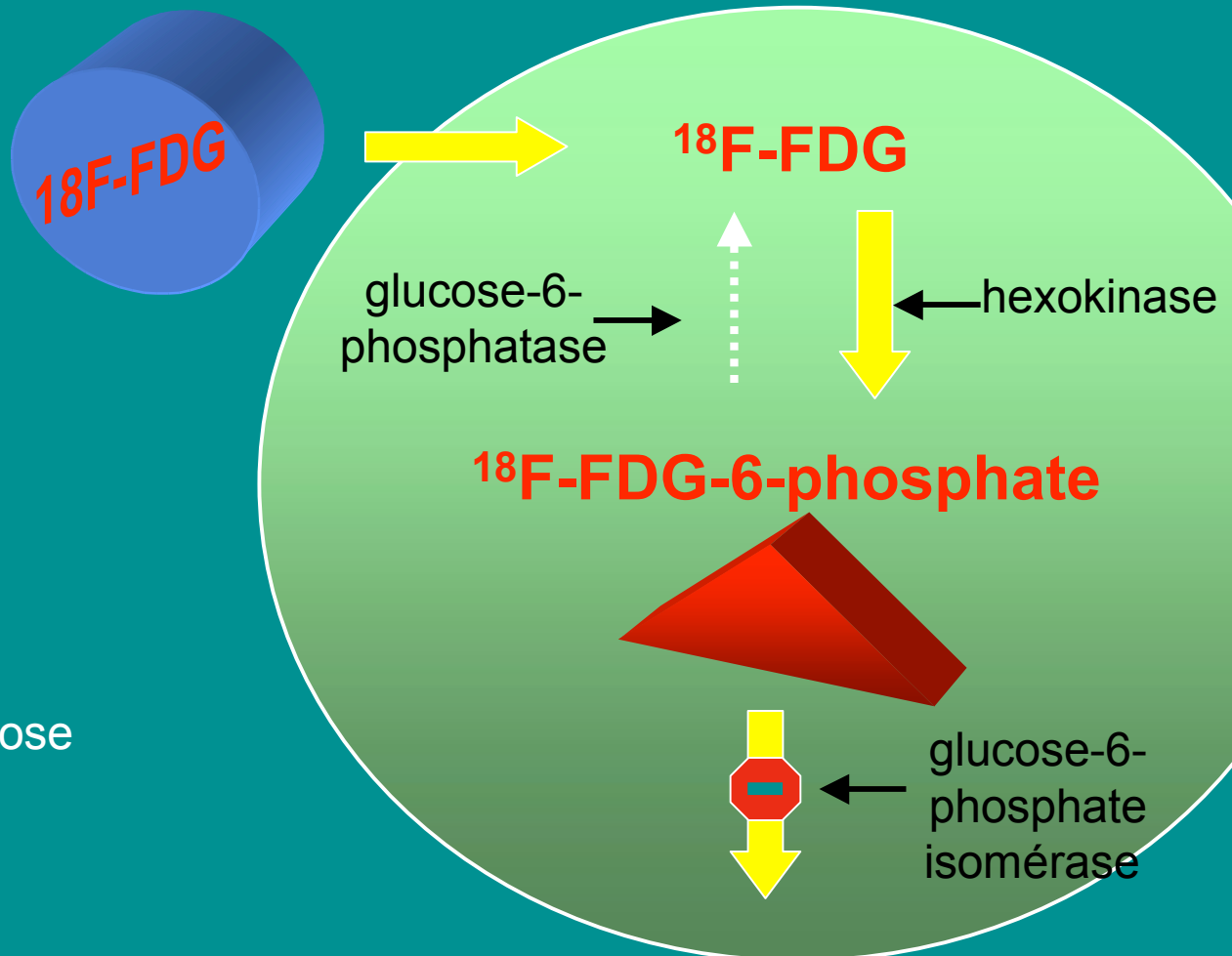


Les traceurs TEP

Le FDG-(18F)



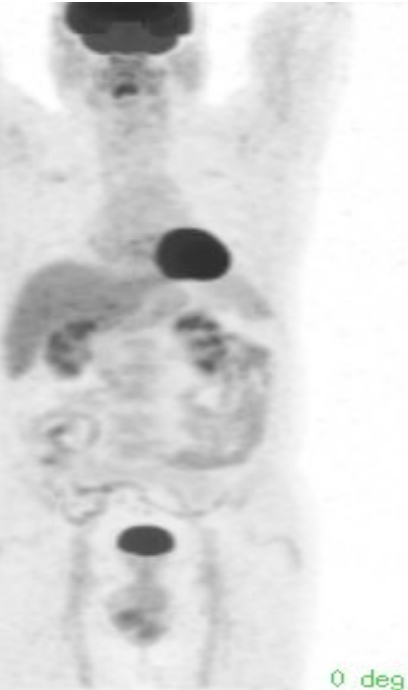
¹⁸F-fluorodésoxyglucose
= analogue radioactif du glucose



Cellule cancéreuse



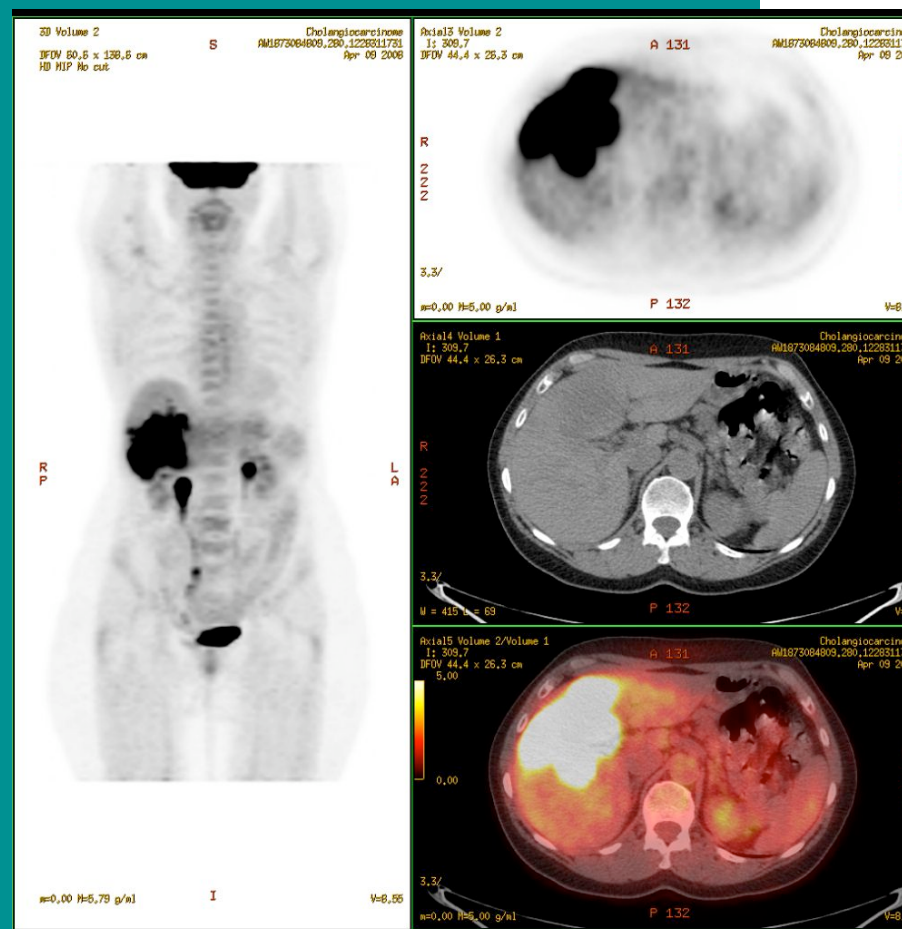
consommation de glucose ↗ (transporteur activité enzymatique)

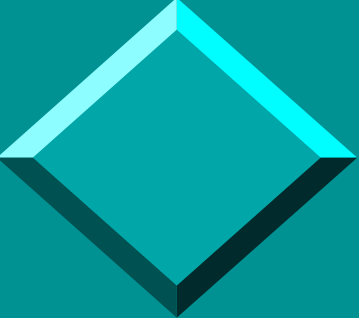


FDG PET and the liver

Hepatocyte cells have strong glucose-6 phosphatase activity :

- ✓ No uptake in the normal hepatocyte cell
- ✓ This allows detection of liver metastases
- ✓ This explains there is no uptake in hepatocellular carcinoma (if well differentiated)
- ✓ This explains the intense uptake in cholangiocarcinoma

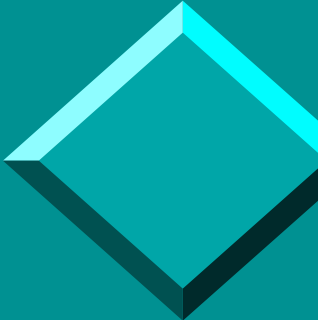




PET and colorectal cancer

Main indications

- ✓ For initial diagnosis and initial staging : NO INDICATION
- ✓ Recurrence of colorectal cancer : exploration of non identified lesion or unexplained rising CEA level
- ✓ Recurrence versus fibrosis
- ✓ New staging before surgery in case of isolated secondary localization (hepatic most of time)



PET and liver metastases from colorectal cancer

Main indications : No specific indication for hepatic metastases but :

- ✓ Characterization of a liver lesion : metastases versus hepatic angioma
- ✓ Residual abnormalities after radiofrequency
- ✓ Before surgery of a single liver metastases
- ✓ Evaluation of therapies



PET and liver metastases from colorectal cancer

In fact, discussion is :

- ✓ What's happening when we see hot spot in the liver ?
- ✓ Is FDG PET-CT more or less sensitive and specific than the other imaging modalities : CT and MRI
- ✓ Pitfalls and artifacts must be known by every one for not inducing false positive or false negative results



PET and liver metastases from colorectal cancer

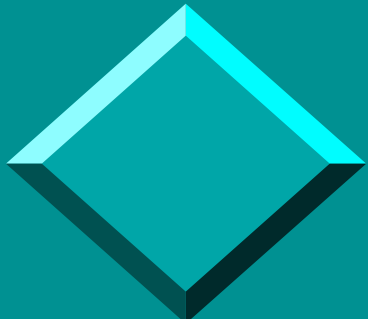
PET-CT versus CT alone or MRI for liver metastases from colorectal cancer:

- ✓ Same Sensitivity (91-95 %) et accuracy (90 %) between PET-CT and CT alone.
- ✓ But PET is more specific for lesions > 1 cm and PET > CT ($Sp = 100\% VS 50\%$) in prior hepatectomy

Selzner M et al, Ann Surg 2004, 240, 1027-36

- ✓ MRI > PET for small lesion

Kong g, Eur J Nucl Med Mol IM, 2008, 1323-9



PET and liver metastases from colorectal cancer

Important Message:

- ✓ Hepatic angioma and Focal Nodular Hyperplasia : NEVER UPTAKE OF FDG

- ✓ Red Blood cell scintigraphy seems to be replaced today by FDG PET-CT for characterization of giant hemangiomas



Detection of recurrence

New staging before surgery of a single lesion +++++

✓ Single liver metastase :

- Research other localizations (lungs, nodes, peritoneal carcinomatosis, suprarenal glands, etc...)

TEP : Se = 91,5 % Sp = 95,4 %

TDM : Se = 60,9 % Sp = 91,1 %

- New staging the liver itself :

TEP : Se = 88,0 % Sp = 96,1 %

TDM : Se = 82,7 % Sp = 84,1 %

Méta analyse de Wiering B et al , Cancer 2005, 104, 2658-70 et al,
(Langhenhoff et Lonneux 2002,



Recurrence detection

Evaluation of a single localization before surgery

Unexpected lesions revealed by FDG PET with modification of management in :

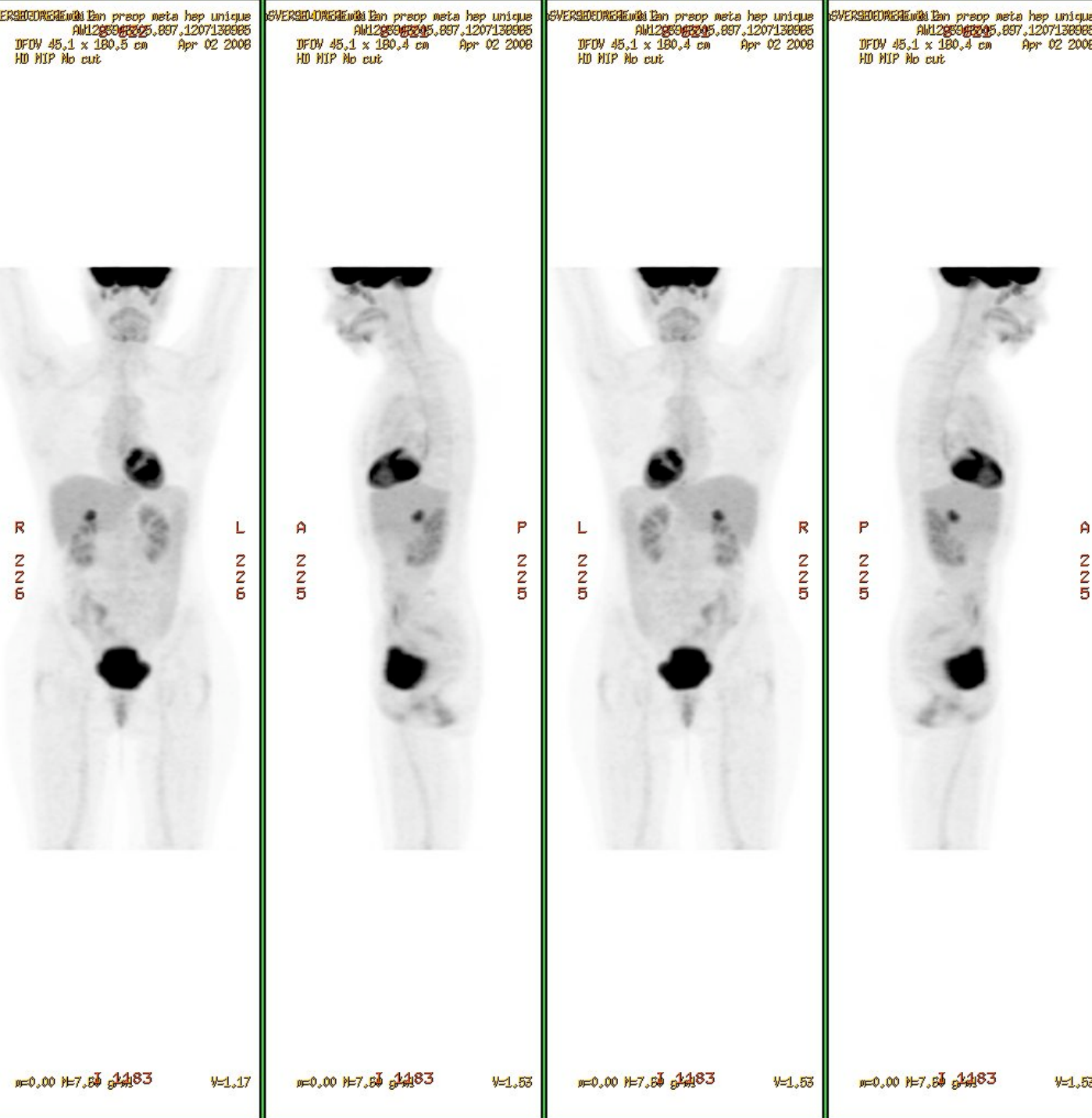
- ✓ 42 % of cases (Beets, 1994)
- ✓ 32 % of cases (Lai, 1996)
- ✓ 32 % of cases (Valk 1999)
- ✓ 28 % of cases (Delbeke 1999)
- ✓ 20 % of cases (Ruers 2002)
- ✓ 21 % of cases (Selzner 2004)
- ✓ 20 % of cases (Kuker 2007)

Lésion du transverse opérée décembre suite l'ablation « kyste » ovarien correspondant à une extension de la lésion

Découverte décembre d'une hépatique unique

Evaluation CT et éventuelle exérèse

1 métas unique



color
le 14
d'un
lésion

en
2007

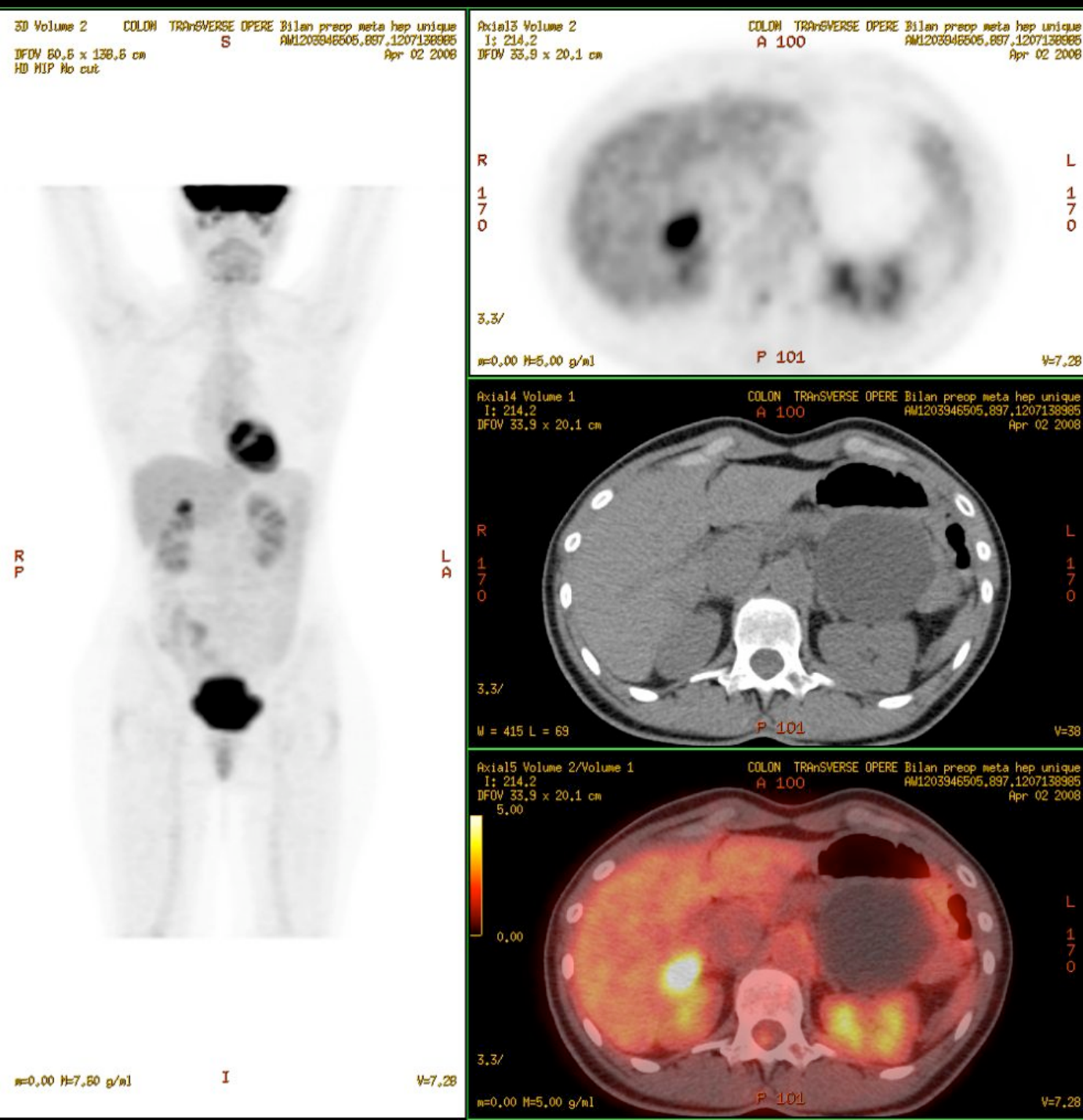
après
avant

Lésion du colon transverse opérée en décembre suite l'ablation « kyste » ovarien correspondant à une extension de la lésion

Découverte en décembre d'une hépatique unique

Evaluation CT et éventuelle exérèse

1 méta unique

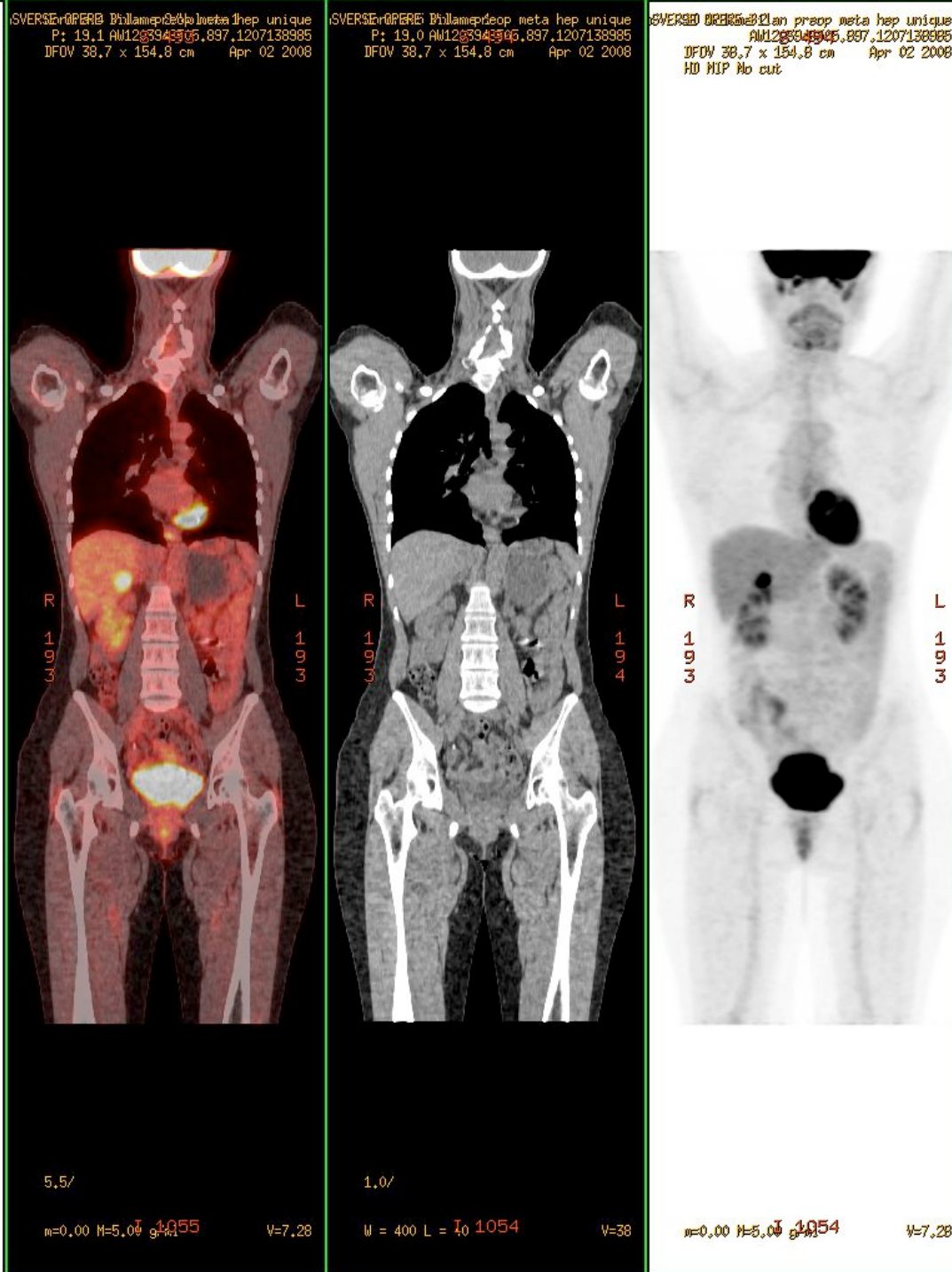


Lésion du transverse opérée décembre suite l'ablation « kyste » ovarien correspondant à une extension de la lésion

Découverte décembre d'une hépatique unique

Evaluation CT et éventuelle exérèse

1 métas unique



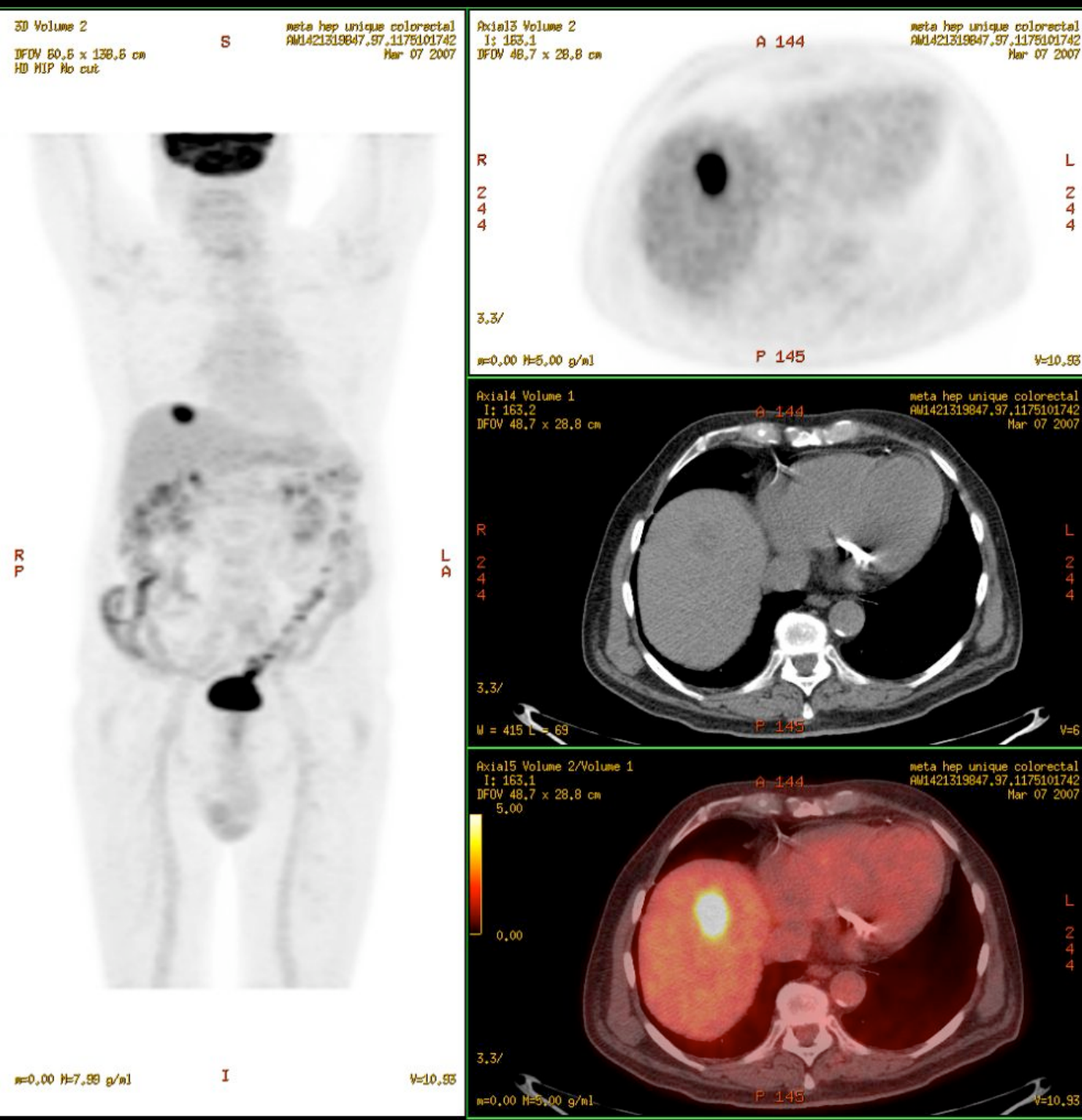
color... le 14/12/2006 à d'un

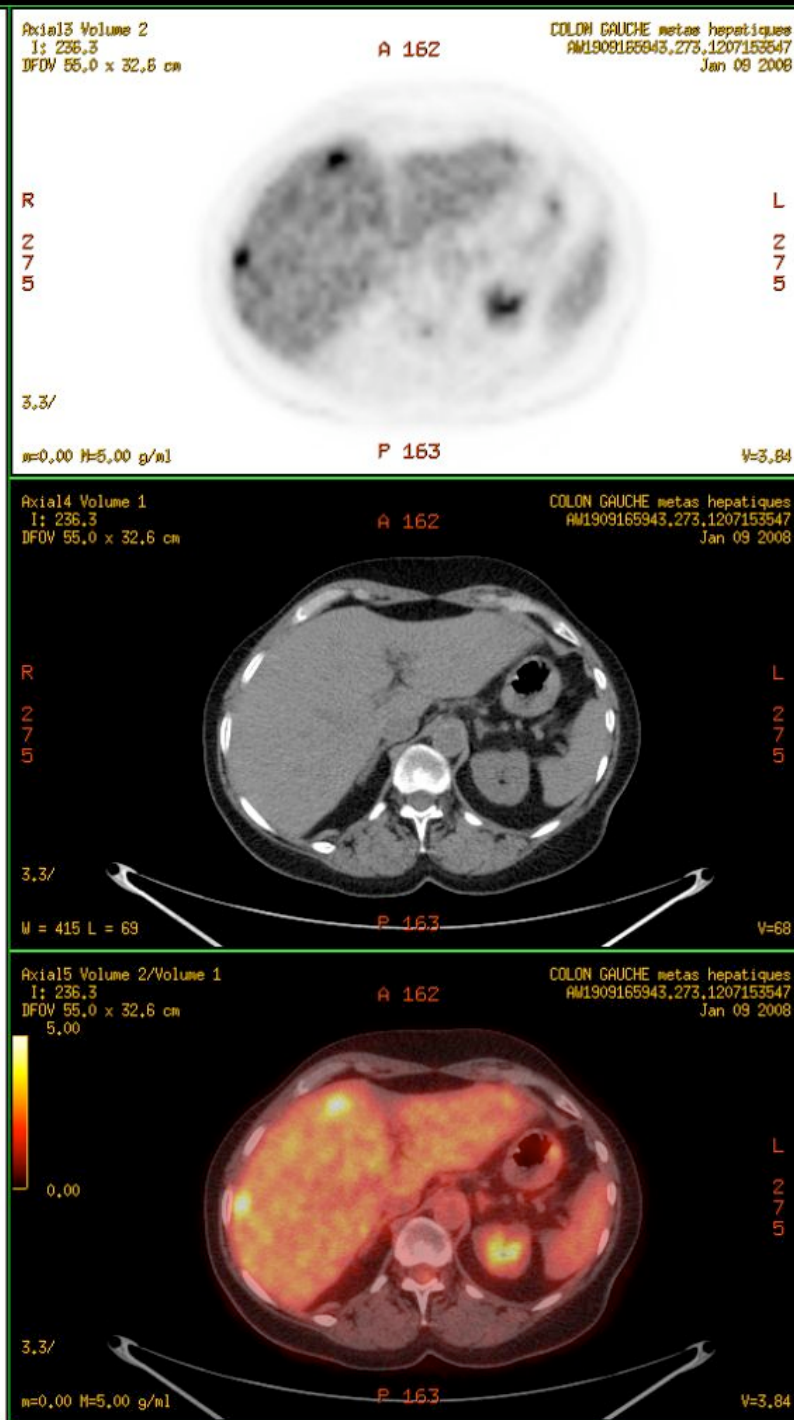
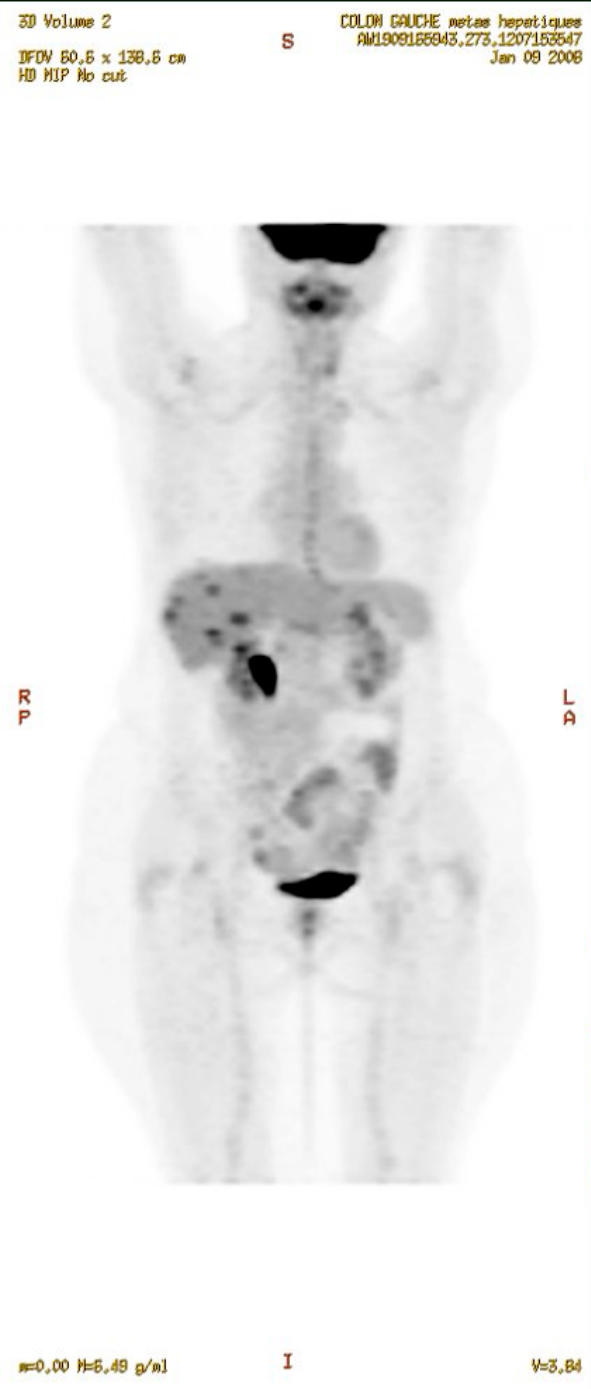
en 2007

après avant

Bilan d'une lésion du segment VIII chez un patient opéré d'un adéno-carcinome rectal

1 volumineuse métastase hépatique unique





Pati^e opérée le
28/12/2006
d'une
colectomie
gauche

Adressée
09/01/2008
Suspicion
métastases
hépatiques
de carcinose
péritonéale

Nombreux foyers
hépatiques
droits
aussi gau^{che}

Pas d'activité sur
les images
tissulaires

d'une

Bilan
probable
rechute
métastatique

hépatique d'un
cancer du colon

traité en 2000

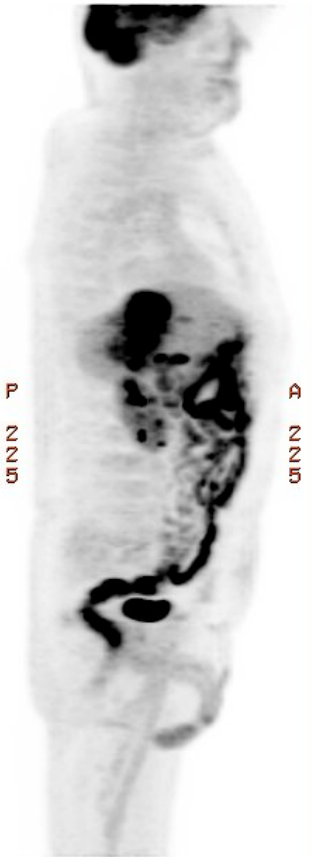
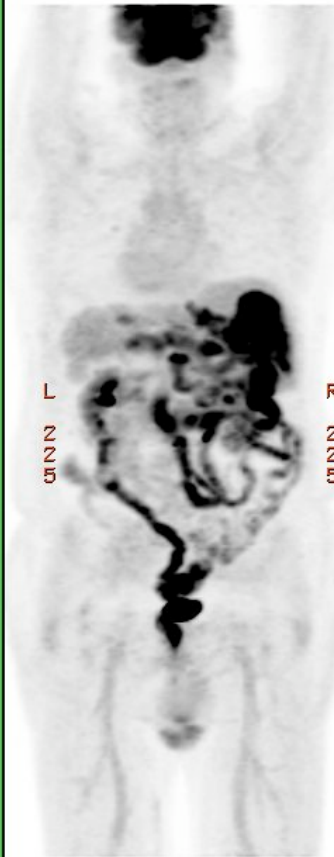
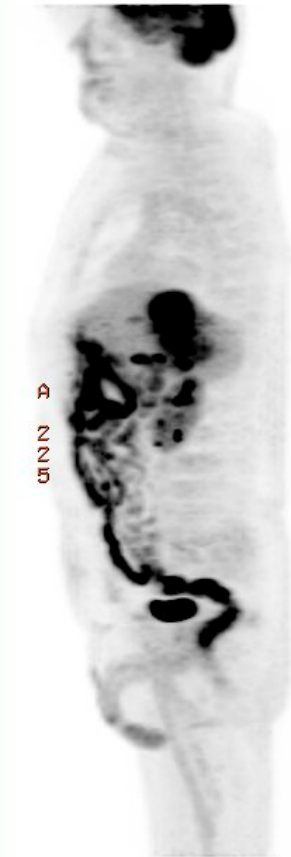
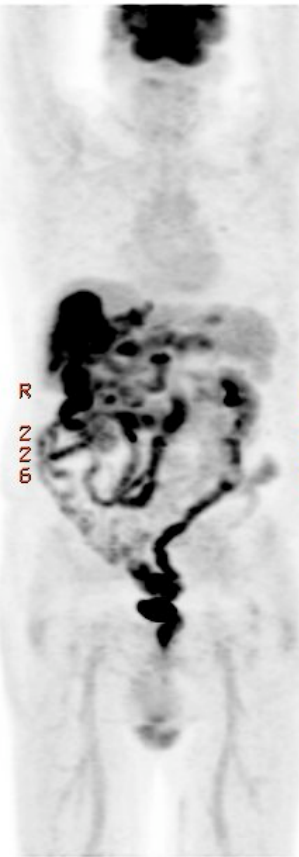
Volumineuse lésion
du segment
VIII

303 Volume 2 COLON metas diffuses
AN2028515851,577,1207154286
DFOV 45,1 x 180,5 cm Mar 05 2008
HD MIP No cut

304 Volume 2 COLON metas diffuses
AN2028515851,577,1207154286
DFOV 45,1 x 180,4 cm Mar 05 2008
HD MIP No cut

305 Volume 2 COLON metas diffuses
AN2028515851,577,1207154286
DFOV 45,1 x 180,4 cm Mar 05 2008
HD MIP No cut

306 Volume 2 COLON metas diffuses
AN2028515851,577,1207154286
DFOV 45,1 x 180,4 cm Mar 05 2008
HD MIP No cut



$m=0,00$ $H=6,92$ $S=1244$

$V=1,31$

$m=0,00$ $H=6,92$ $S=1243$

$V=1,31$

$m=0,00$ $H=6,92$ $S=1243$

$V=1,31$

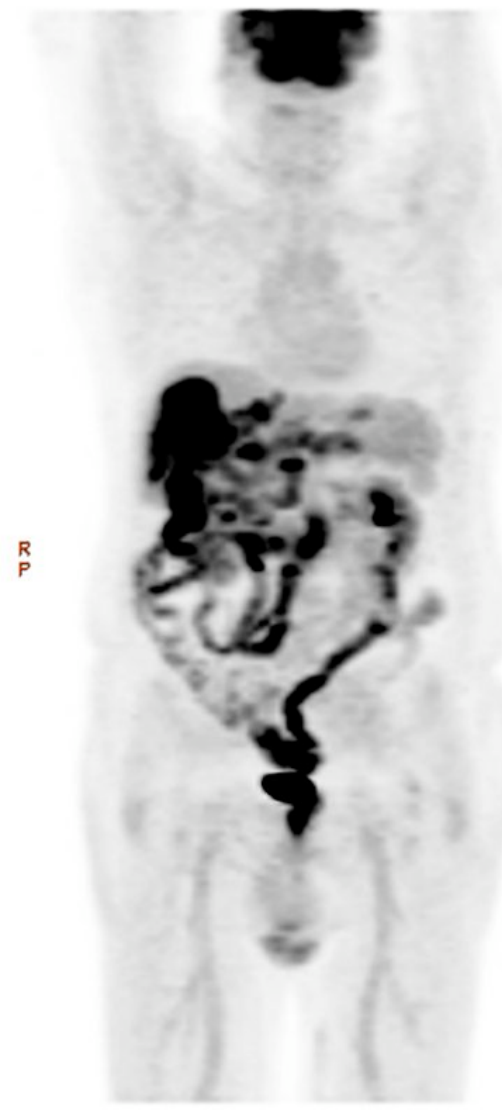
$m=0,00$ $H=6,92$ $S=1243$

$V=1,31$

3D Volume 2
DFOV 60,6 x 138,6 cm
HD MIP No cut

S

COLON metas diffuses
AM2075159301.677.1207154266
Mar 05 2008



Axial3 Volume 2
I: 222.3
DFOV 55,0 x 32,6 cm

A 162

COLON metas diffuses
AM2075159301.677.1207154266
Mar 05 2008

R
Z
5

L
Z
5

3,3/

m=0,00 M=5,92 g/ml

P 163

V=9,58

Axial4 Volume 1
I: 222.3
DFOV 55,0 x 32,6 cm

A 162

COLON metas diffuses
AM2075159301.677.1207154266
Mar 05 2008

R
Z
5

L
Z
5

3,3/

W = 415 L = 69

P 163

V=32

Axial5 Volume 2/Volume 1
I: 222.3
DFOV 55,0 x 32,6 cm
4.98

A 162

COLON metas diffuses
AM2075159301.677.1207154266
Mar 05 2008

3,3/

I

V=9,58

m=0,00 M=4,98 g/ml

Bilan
probable
rechute
métastatique
hépatique d'un
cancer du colon
traité en 2000

d'une

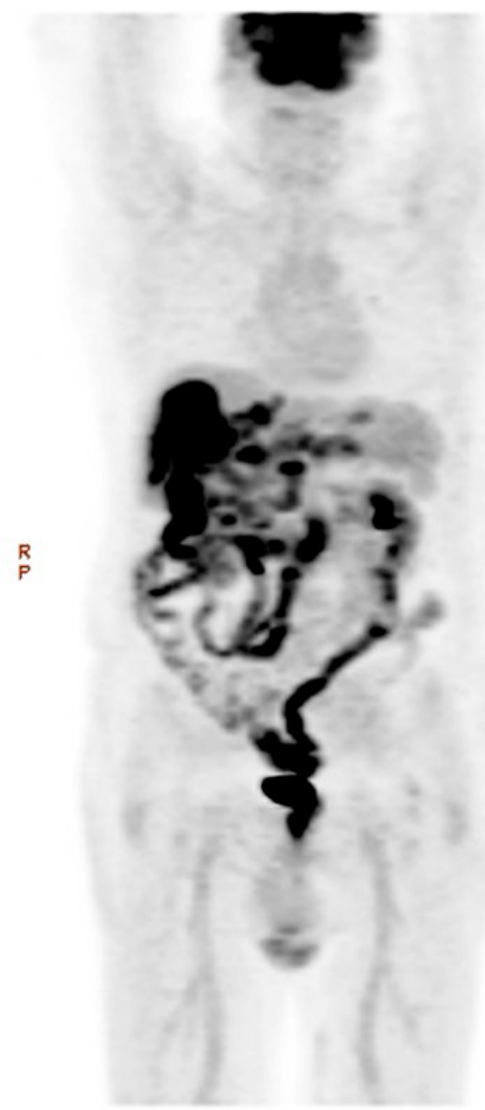
Volumineuse lésion
des segments
VIII et I

segment

3D Volume 2
DFOV 60.6 x 138.6 cm
HD MIP No cut

S

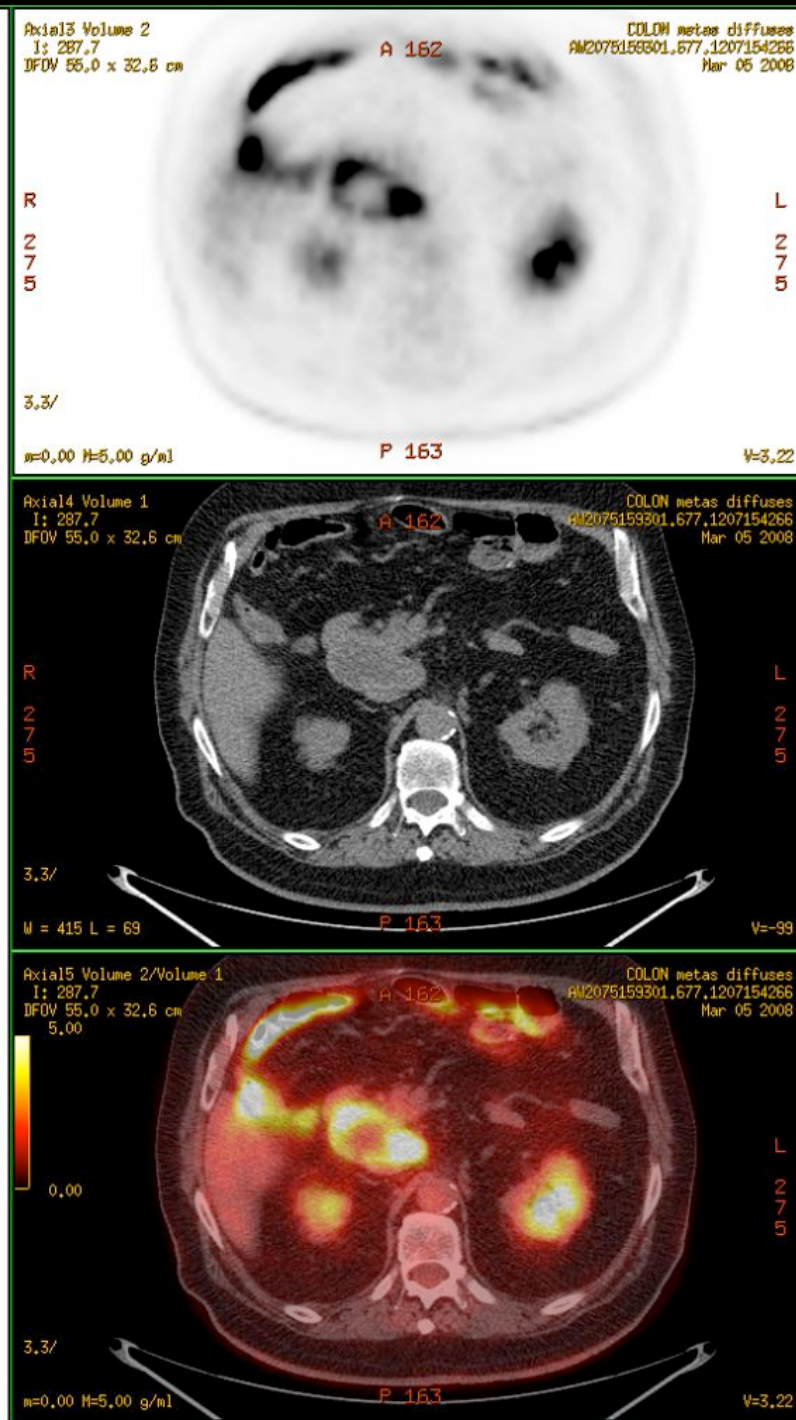
COLON metas diffuses
AM2075159301.677.1207154266
Mar 05 2008



=0.00 M=5.00 g/ml

I

V=3.22



Axial3 Volume 2
I: 287.7
DFOV 55.0 x 32.6 cm

COLON metas diffuses
AM2075159301.677.1207154266
Mar 05 2008

A 162

Axial4 Volume 1
I: 287.7
DFOV 55.0 x 32.6 cm

COLON metas diffuses
AM2075159301.677.1207154266
Mar 05 2008

P 163

V=3.22

Axial5 Volume 2/Volume 1
I: 287.7
DFOV 55.0 x 32.6 cm

COLON metas diffuses
AM2075159301.677.1207154266
Mar 05 2008

P 163

V=3.22

3.3/
m=0.00 M=5.00 g/ml

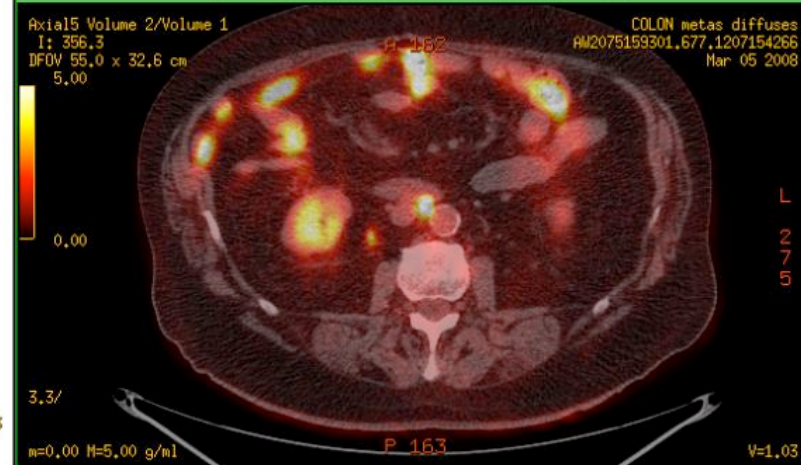
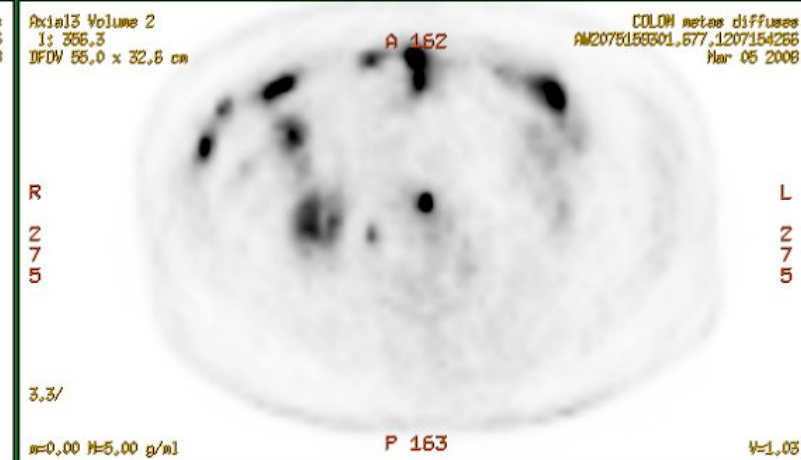
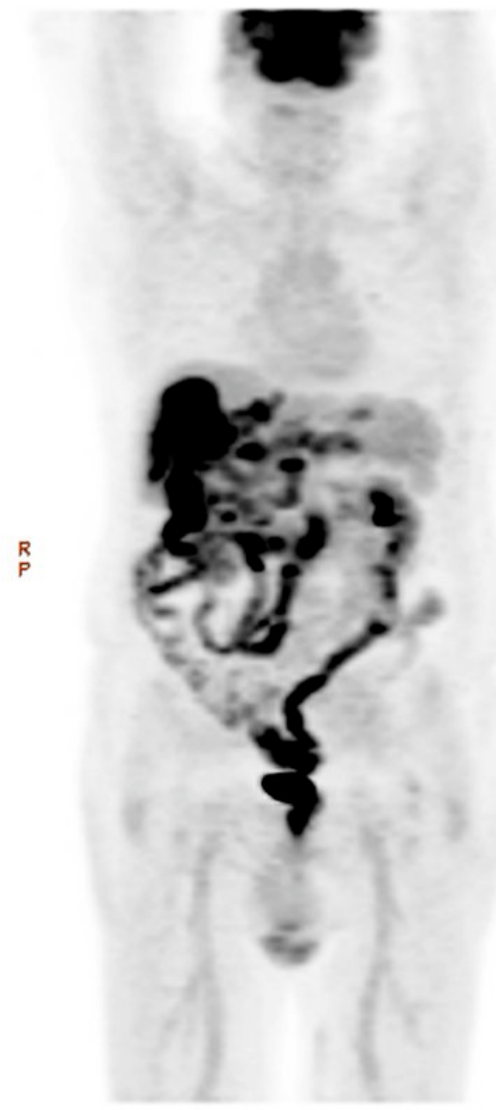
V=3.22

Masse correspondant à un ganglion coeliaque

3D Volume 2
DFOV 60,6 x 138,6 cm
HD MIP No cut

S

COLON metas diffuses
AM2075159301.677.1207154266
Mar 05 2008



Un ganglion hyper-métabolique inter-cave

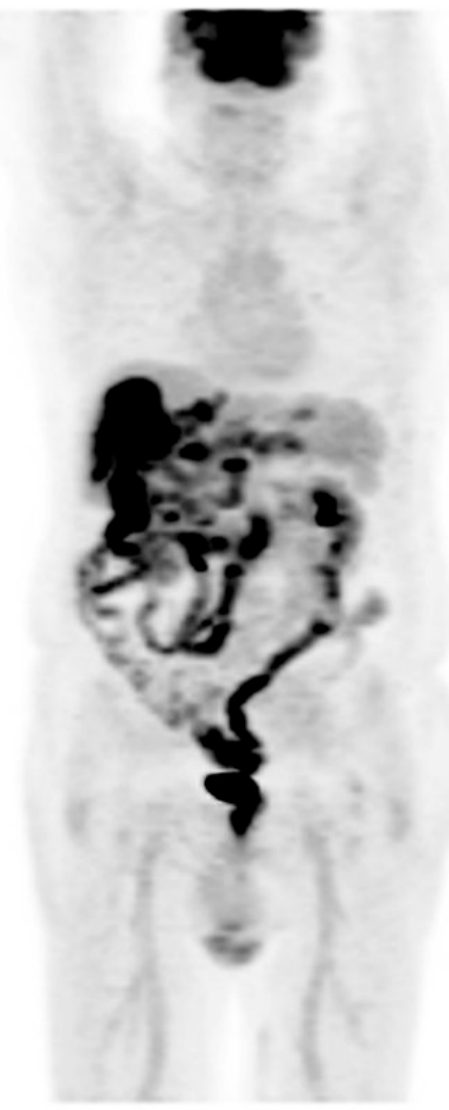
Fixation gauche (ce n'est pas de la carcinose)

Et...

colique diffuse pas de

3D Volume 2
DFOV 60,6 x 138,6 cm
HD MIP No cut

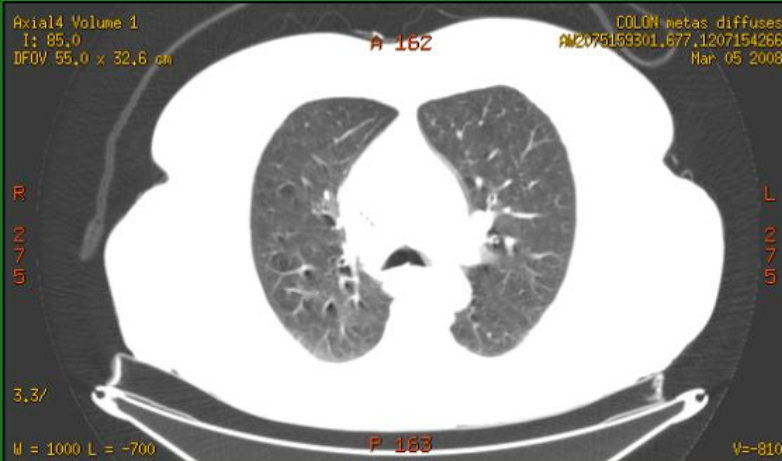
S COLON metas diffuses
AM2075159301.677,1207154266
Mar 05 2008



m=0,00 M=5,80 g/ml

I

V=1.00



W = 1000 L = -700 V=-810



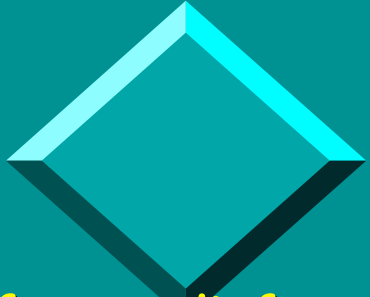
m=0,00 M=5,00 g/ml

P 163

V=1.00

Un foyer pulmonaire gauche surtout visible sur les images corrigées

foyer pulmonaire gauche visible sur les images corrigées



Detection of recurrences

After radiofrequency :

- ✓ After radiofrequency ablation of liver metastases : no uptake.

PET > CT for detection of recurrence after radiofrequency

Travaini LL et al, Eur J Nuc Med Mol Im 2008, 1316-22

PET = MRI for detection of recurrence after radiofrequency

Kuehl H et al, Eur J Radiol 2007, 362-71

- ✓ Evaluation in the first 12 hours (evaluation of efficiency) or after 6 à 8 weeks (recurrence) : inflammation from the 3rd day with hot spot ring (granulation)

Avril N, 2006, 47, 1235-37



Therapeutic Evaluation

Chemotherapy :

- ✓ Early evaluation of therapeutic to detect answering from non answering patients : evaluation after 1 or 2 administrations (3 or 6 weeks)

Bender H et al, Hybridoma 1999, 18, 87-91

Delbeke D et al, J Nucl Med, 1999, 40, 591-603

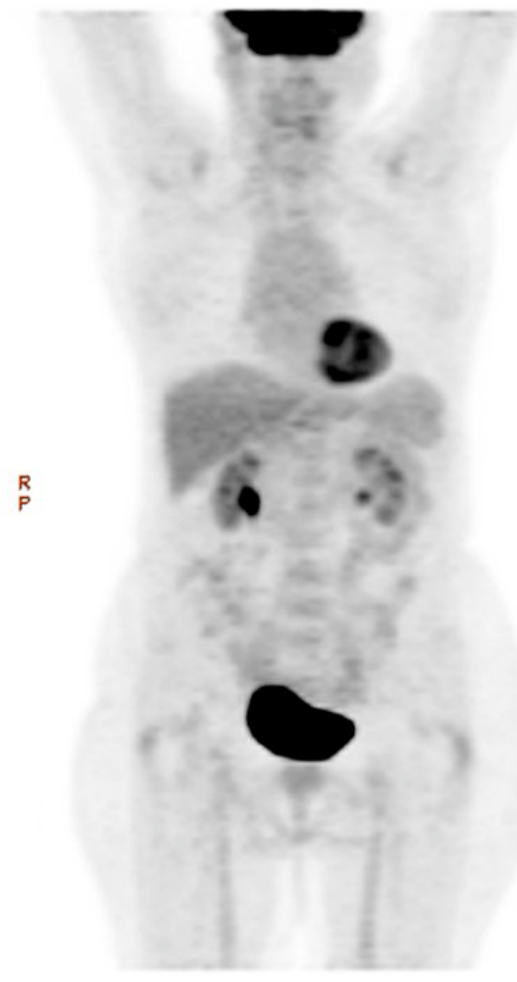
Small RM et al, J surg Oncol 2008, 99, 93-98

- ✓ CHIP : pas de protocole particulier

SD Volume 2
DFOV 60,6 x 138,6 cm
HD MIP No cut

S

COLON meta foie apres CT
AM1493251123.77.1207154125
Mar 12 2008



Axial3 Volume 2
I: 220,6
DFOV 36,6 x 21,6 cm

A 108

COLON meta foie apres CT
AM1493251123.77.1207154125
Mar 12 2008

R 1 8 3 L 1 8 3

3,3/
m=0,00 M=5,00 g/ml P 109 V=2,34

Axial4 Volume 1
I: 220,6
DFOV 36,6 x 21,6 cm

A 108

COLON meta foie apres CT
AM1493251123.77.1207154125
Mar 12 2008

R 1 8 3 L 1 8 3

3,3/
W = 415 L = 69 P 109 V=62

Axial5 Volume 2/Volume 1
I: 220,6
DFOV 36,6 x 21,6 cm

A 108

COLON meta foie apres CT
AM1493251123.77.1207154125
Mar 12 2008

5,00
0,00 R 1 8 3 L 1 8 3

3,3/
m=0,00 M=5,00 g/ml P 109 V=2,34

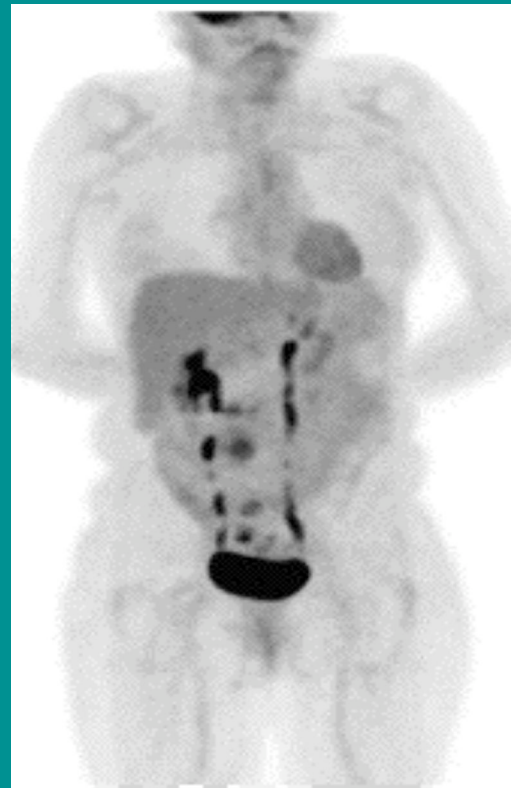
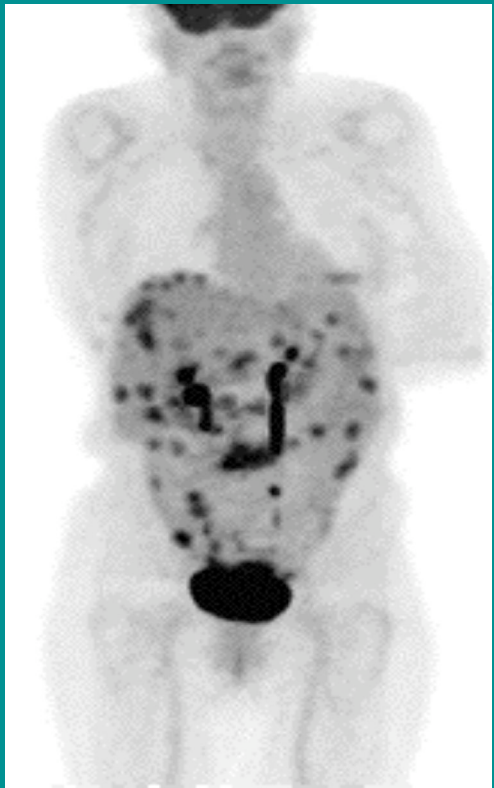
Pati^ente opérée en
février 2007
d'une lésion
colique. Lésions
secondaires
hépatiques
(synchrone)s

CT jusqu'au
23/11/2007

Pas d'image de
référence !!!

Aucune activité
sur les lésions
hépatiques

Erturk et al. Eur J Radiol 2006, 229-235



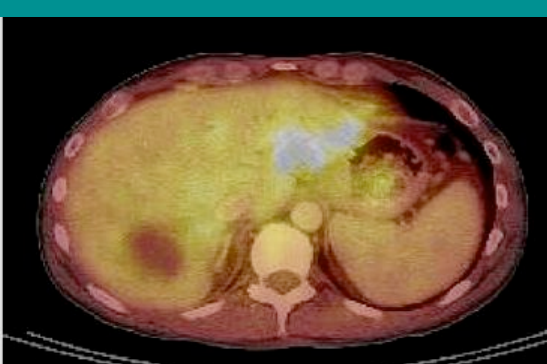
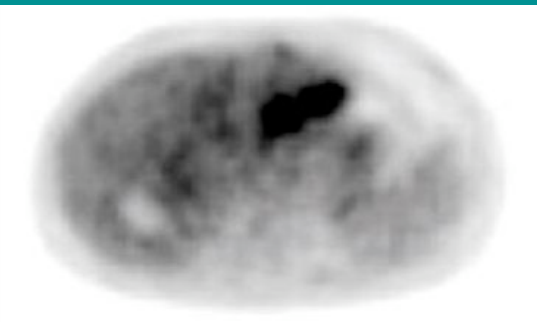
Hepatic and peritoneal
metastases

Before chemotherapy

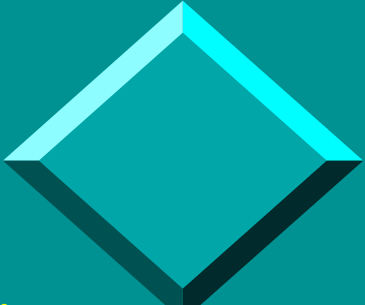
After chemotherapy

Before therapy

After therapy



After treatment of the lobe of the liver by intrarterial injection of microspheres labeled Y-90



Pitfalls and Artifacts

Limitations of FDG PET (1) :

- ✓ **HISTOLOGICAL PATTERN** : Mucinous adenocarcinoma : Se = 58 % VS 92 % for non mucinous

Whiteford MH et al, Dis Colon Rectum, 2000, 43, 759-67

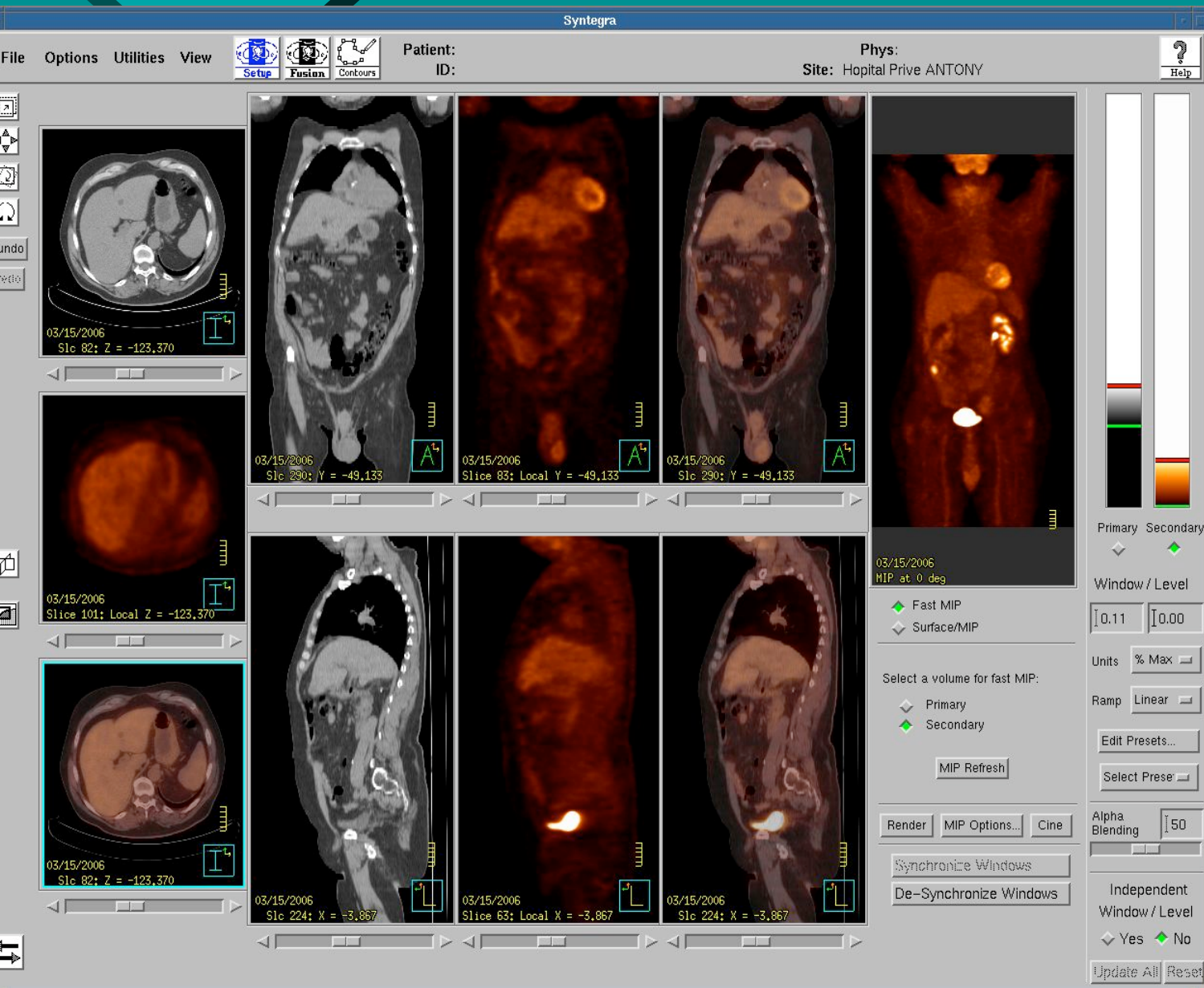
- ✓ **SIZE** : poor sensitivity (25 %) for lésions < 1 cm

Fong Y et al, Am J Surg 1999; 178, 282-7

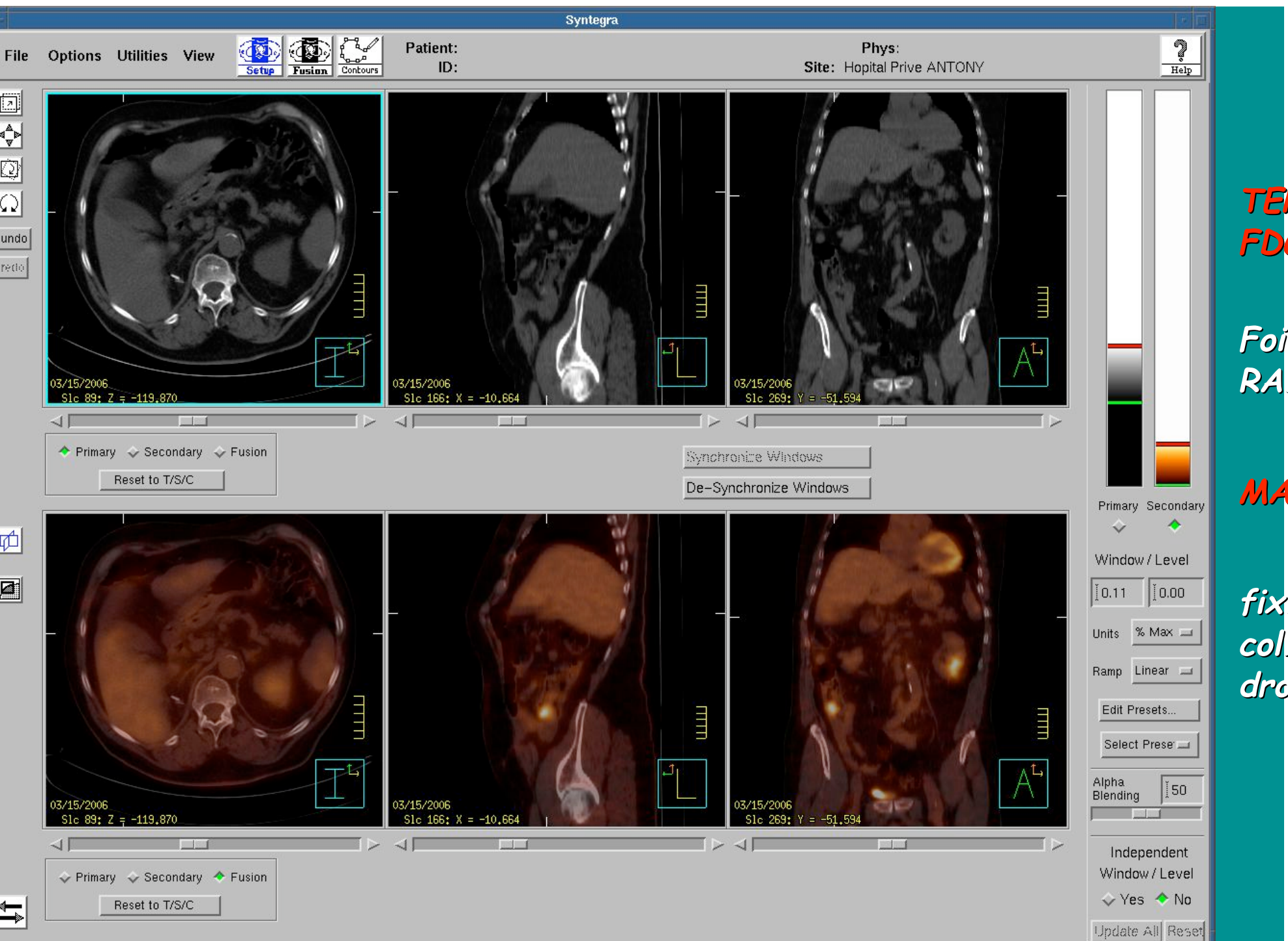
- ✓ **CHEMOTHERAPY** : cell sideration in the 3 weeks after administration

H 67 ans (LEGUI)

Cas Clinique



- K rein opéré en 08/06
- Apparition de 2 masses hépatiques (II et III) en 02/06
- Bilan d'opérabilité



File Options Utilities View

 Setup
  Fusion
  Contours
Patient:
ID:Phys:
Site: Hopital Prive ANTONY
 Help

 Primary
 Secondary
 Fusion

Primary Secondary

Window / Level

0.10 0.20

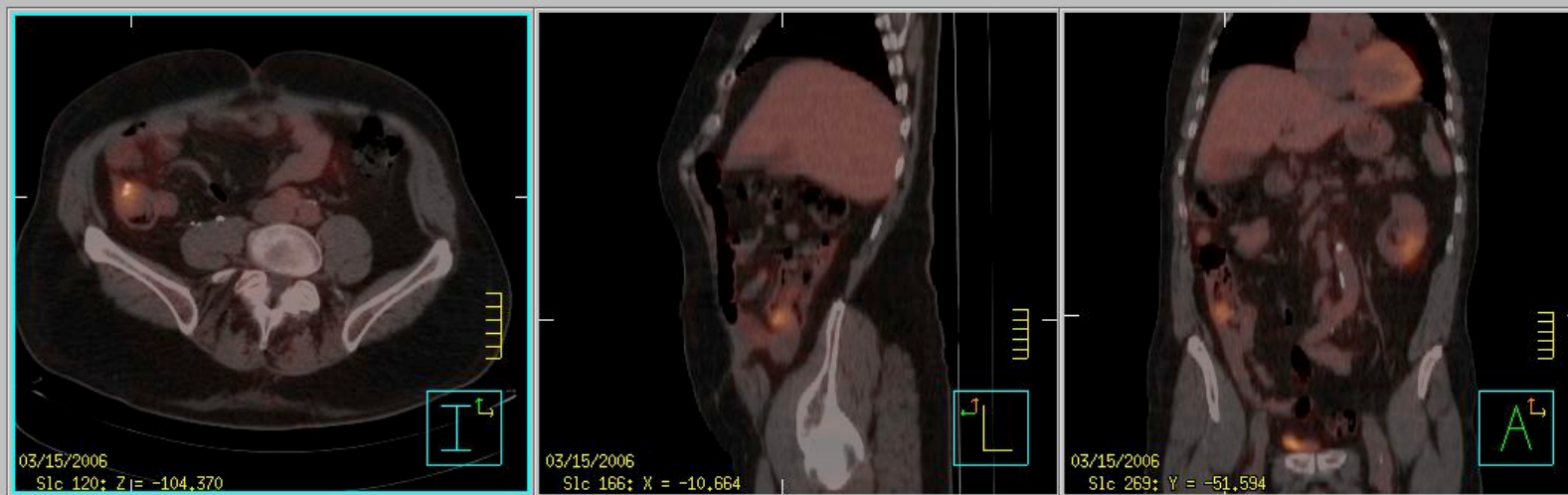
Units % Max

Ramp Linear

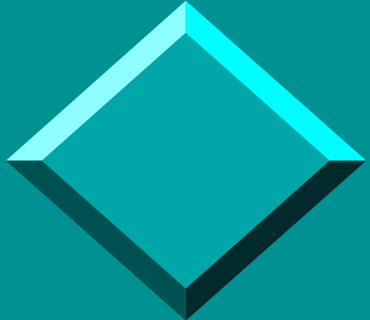
Alpha Blending

50

Independent Window / Level

 Yes No 
 Primary
 Secondary
 Fusion

kystes
parasitaires
+
cancer
du
colon
(colo
scopie
négati
ve !!!)
...



Pitfalls and Artifacts

Limitations of FDG PET (2) :

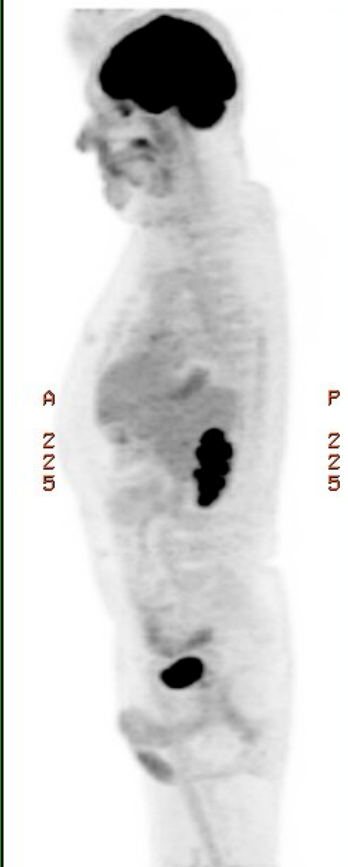
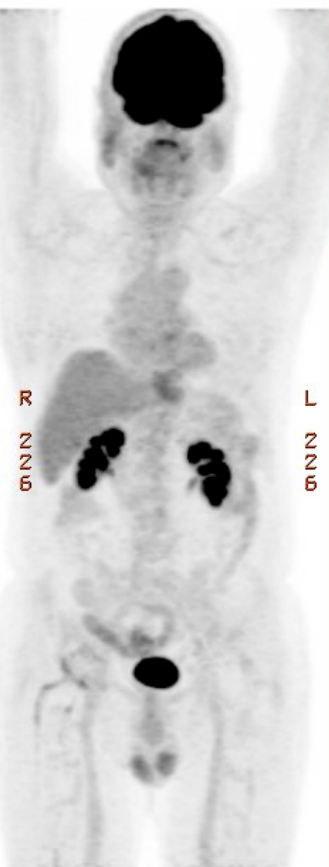
- ✓ MELLITUS DIABETES : competition between FDG blood glucosis. Bad tissular penetration ; poor sensitivity
- ✓ BRAIN : Intense uptake because of poor glucose-6 phosphatase activity
- ✓ Localization beside a natural hot spot (bladder) : signal is not distinguished from the hot spot

303 Volume 2 META CEREBRALE POUMON
AVG6826970,508,1196678894
DFDV 45,1 x 180,5 cm Dec 05 2007
HD MIP No cut

304 Volume 2 META CEREBRALE POUMON
AVG6826970,508,1196678894
DFDV 45,1 x 180,4 cm Dec 05 2007
HD MIP No cut

305 Volume 2 META CEREBRALE POUMON
AVG6826970,508,1196678894
DFDV 45,1 x 180,4 cm Dec 05 2007
HD MIP No cut

306 Volume 2 META CEREBRALE POUMON
AVG6826970,508,1196678894
DFDV 45,1 x 180,4 cm Dec 05 2007
HD MIP No cut



Patient de 66 ans
opéré en 2000 d'une
lésion pulmonaire
gauche

Découverte d'une
lésion cérébrale
frontale supérieure
gauche

Recherche d'autres
localisations

$n=0,00$ $H=5,98$ $p=1111$

$V=1,22$

$n=0,00$ $H=5,98$ $p=1111$

$V=1,25$

$n=0,00$ $H=5,98$ $p=1111$

$V=1,25$

$n=0,00$ $H=5,98$ $p=1111$

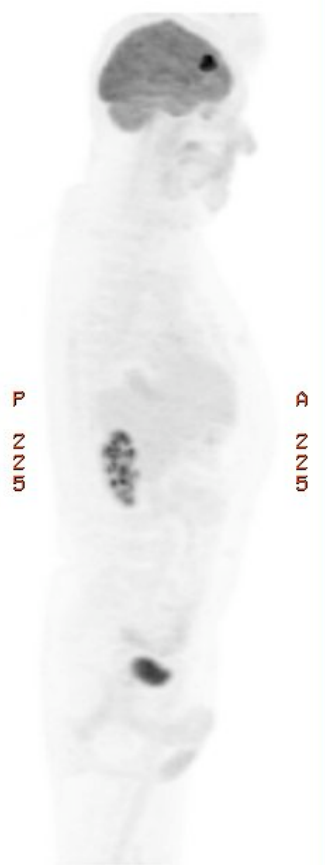
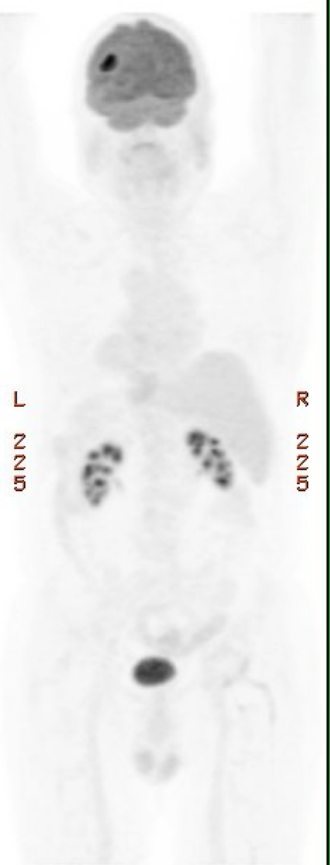
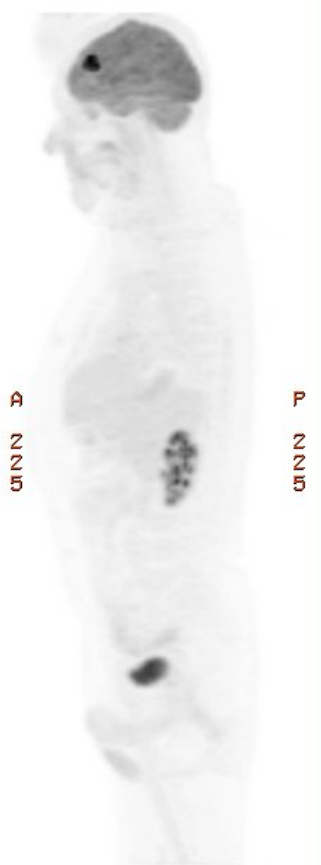
$V=1,25$

303 Volume 2 META CEREBRALE POURNOI
AWB18265720.508.1196678894
DFOV 45,1 x 180,5 cm Dec 05 2007
HD MIP No cut

304 Volume 2 META CEREBRALE POURNOI
AWB18265720.508.1196678894
DFOV 45,1 x 180,4 cm Dec 05 2007
HD MIP No cut

305 Volume 2 META CEREBRALE POURNOI
AWB18265720.508.1196678894
DFOV 45,1 x 180,4 cm Dec 05 2007
HD MIP No cut

306 Volume 2 META CEREBRALE POURNOI
AWB18265720.508.1196678894
DFOV 45,1 x 180,4 cm Dec 05 2007
HD MIP No cut



n=0,00 N=18, Tg 1411

V=1,22

n=0,00 N=18, Tg 1411

V=1,26

n=0,00 N=18, Tg 1411

V=1,26

n=0,00 N=18, Tg 1411

V=1,26

Localisation
cérébrale visible en
TEP

Pas d'autre foyer en
particulier
pulmonaire
surrénalien ou
osseux

SD Volume 2
DFOV 60,6 x 138,6 cm
HD MIP No cut

S

META CEREBRALE POUMON
AM646271770,508,1196878894
Dec 05 2007



Axial3 Volume 2
S: 263,4
DFOV 29,2 x 17,3 cm

A 135

META CEREBRALE POUMON
AM646271770,508,1196878894
Dec 05 2007

R
1
1
6

L
1
7
7

3,3/

P 38

V=2,96

Axial4 Volume 1
S: 263,4
DFOV 29,2 x 17,3 cm

A 135

META CEREBRALE POUMON
AM646271770,508,1196878894
Dec 05 2007

R
1
1
6

L
1
7
7

3,3/

P 38

V=29

Axial5 Volume 2/Volume 1
S: 263,4
DFOV 29,2 x 17,3 cm
14,38

A 135

META CEREBRALE POUMON
AM646271770,508,1196878894
Dec 05 2007

3,3/

P 38

V=2,96

m=0,00 M=18,08 g/ml

V=2,96

m=0,00 M=14,38 g/ml

V=2,96

Foyer frontal gauche

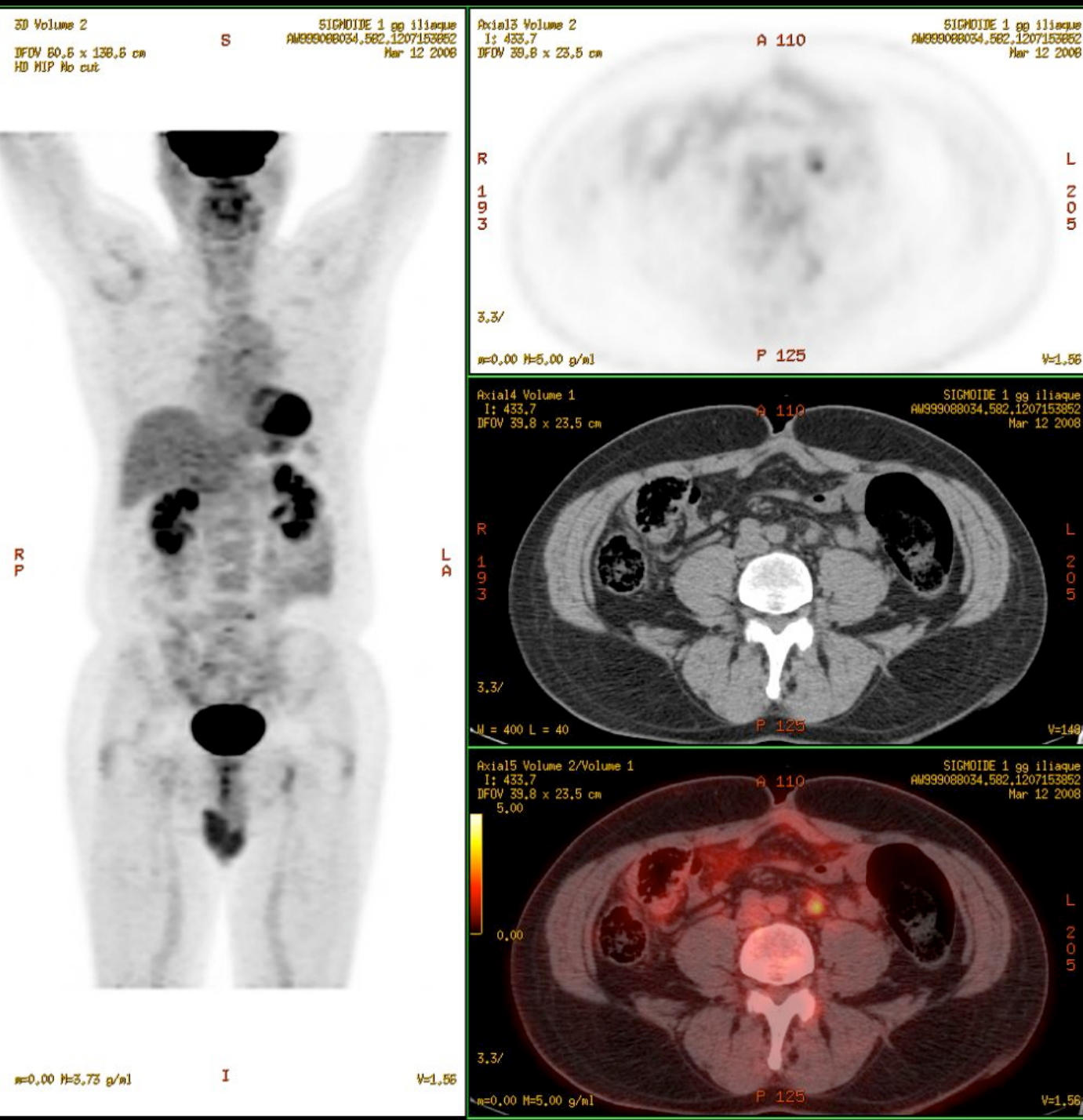
Patient
d'une
sigmoïdienne
en octobre
2006

Opérée

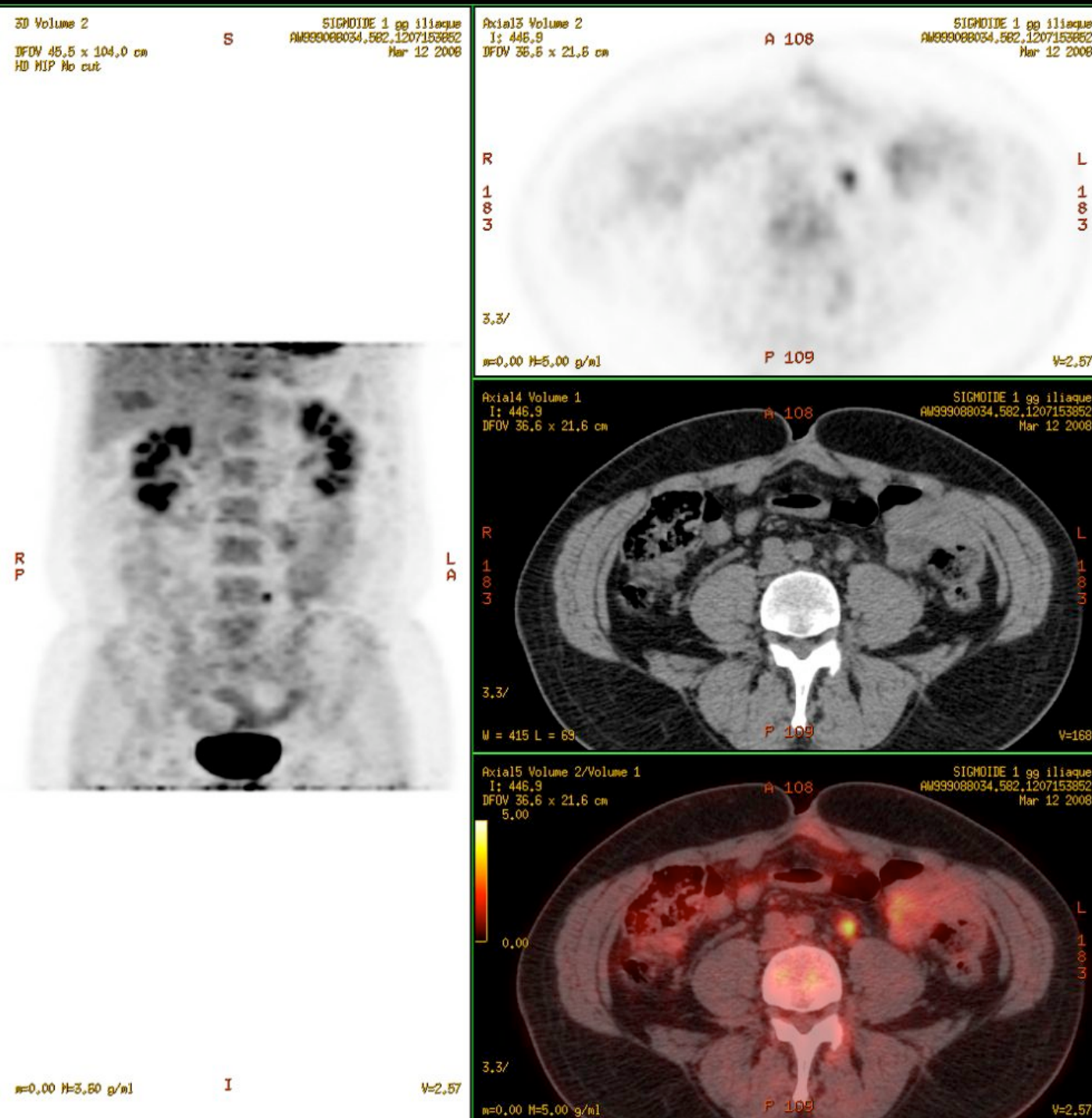
CT jusqu'en
juin 2007

Unique
ganglion
iliaque
primitif
gauche sur
le scanner
et l'IRM

Fixation sur
LE ganglion
iliaque
primitif
gauche



Aspect confirmé sur images tardives

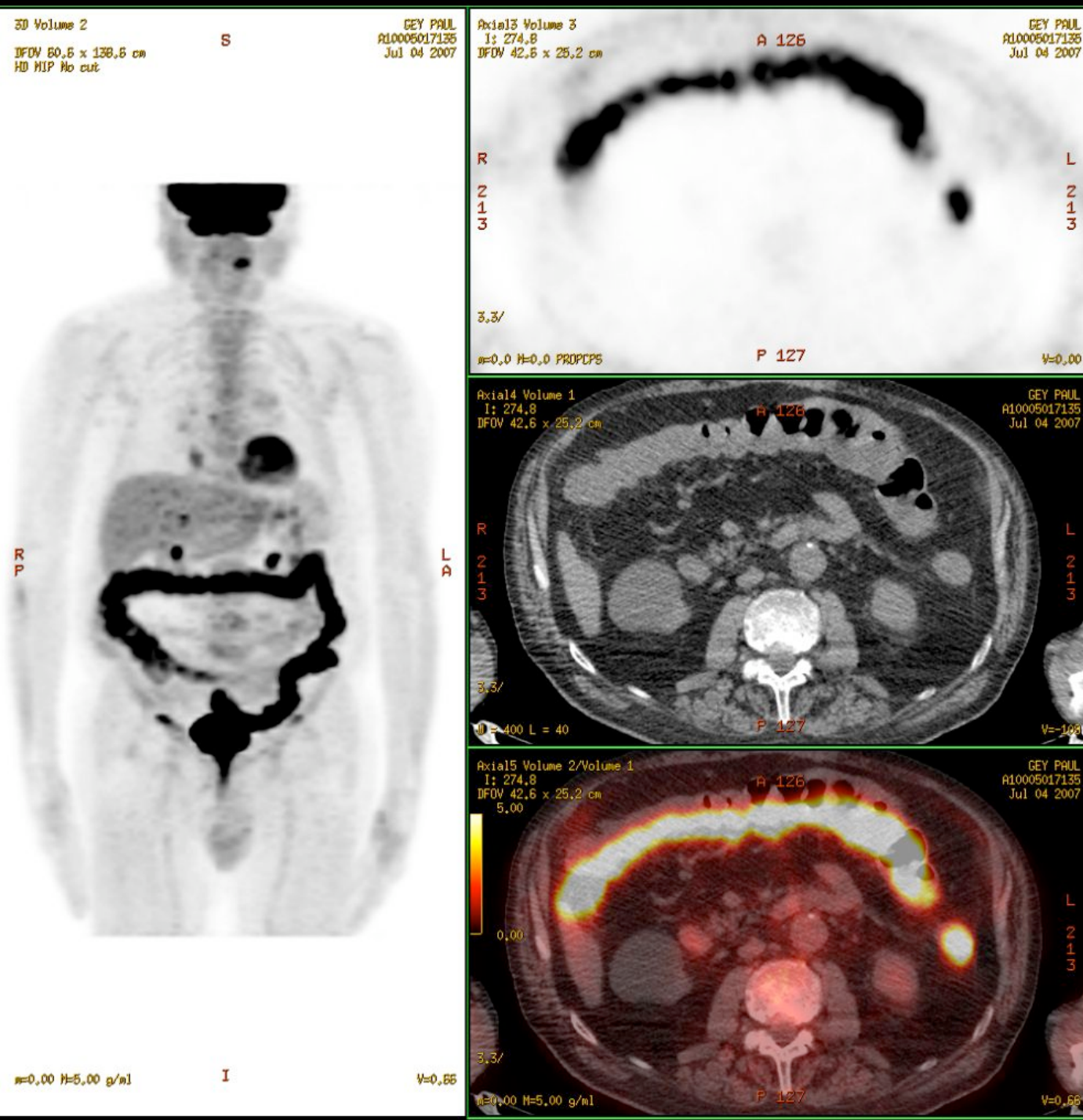


Pitfalls and Artifacts

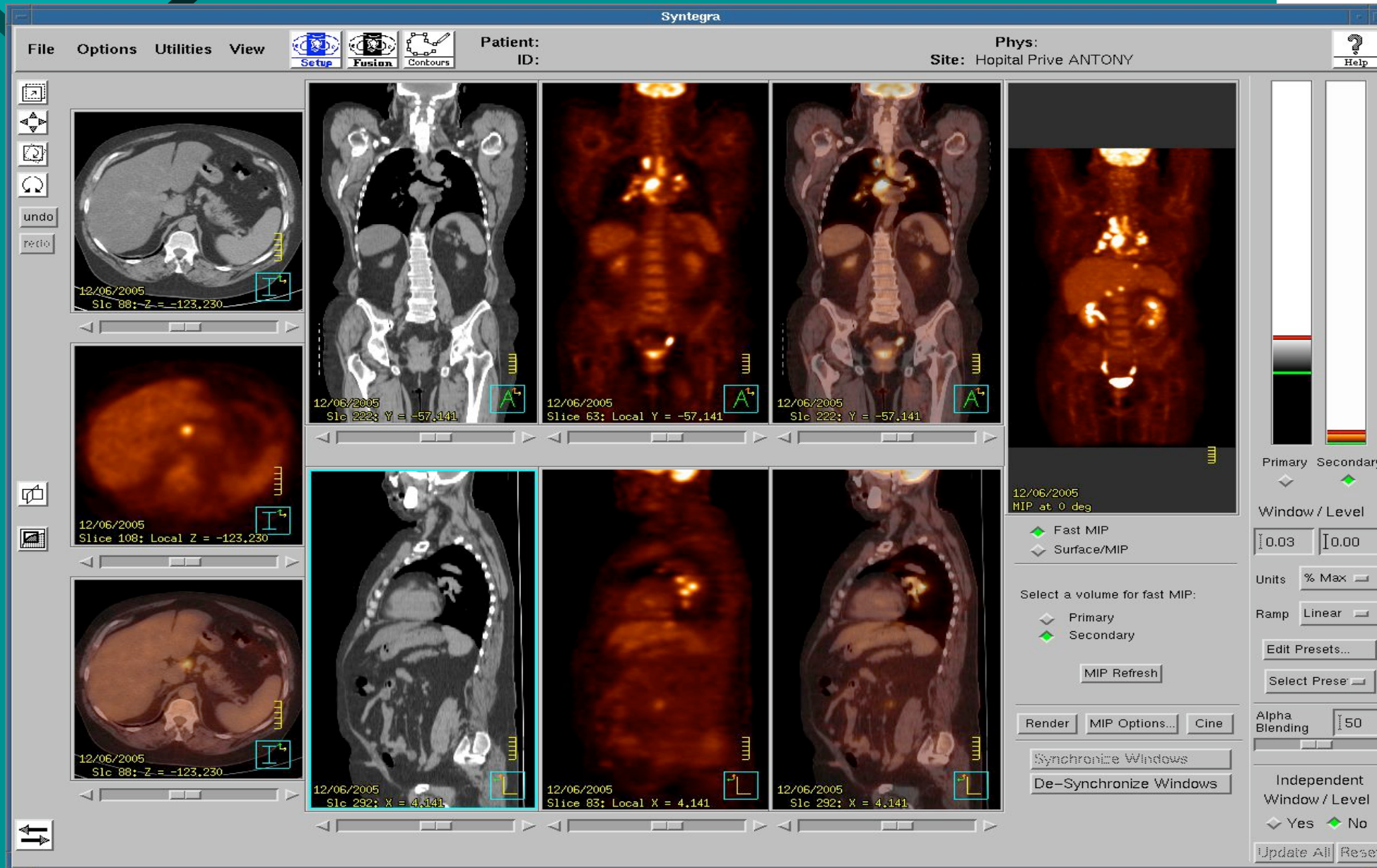


- ✓ INFLAMMATION :
 - Uptake is effective on inflammatory nodes : *granulomatosis, sarcoidosis, infection, etc...*
 - post-surgical inflammation
 - Diverticulitis
 - (MICI et adenomas)
- ✓ Radiotherapy : uptake in the field during 4 to 6 months
- ✓ Brown adipose tissue
- ✓ INFECTION : *hepatic abscess, other infections*
- ✓ ARTIFACTS : physiologic uptake on gut, or ureters

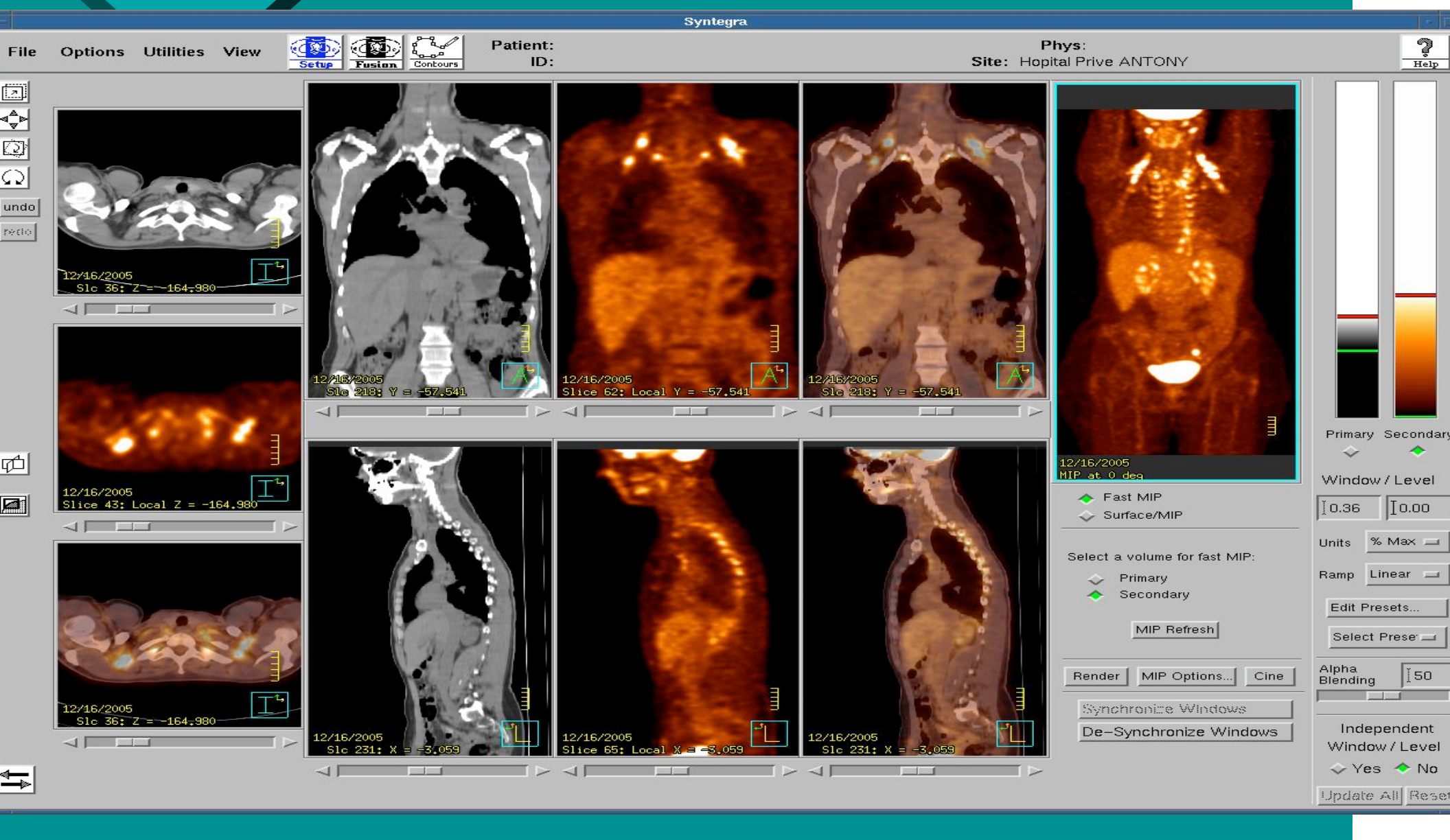
Réalisation
d'une
dans
cadre
cancer
poumon
chez
patient
présentant
une maladie
de
connue



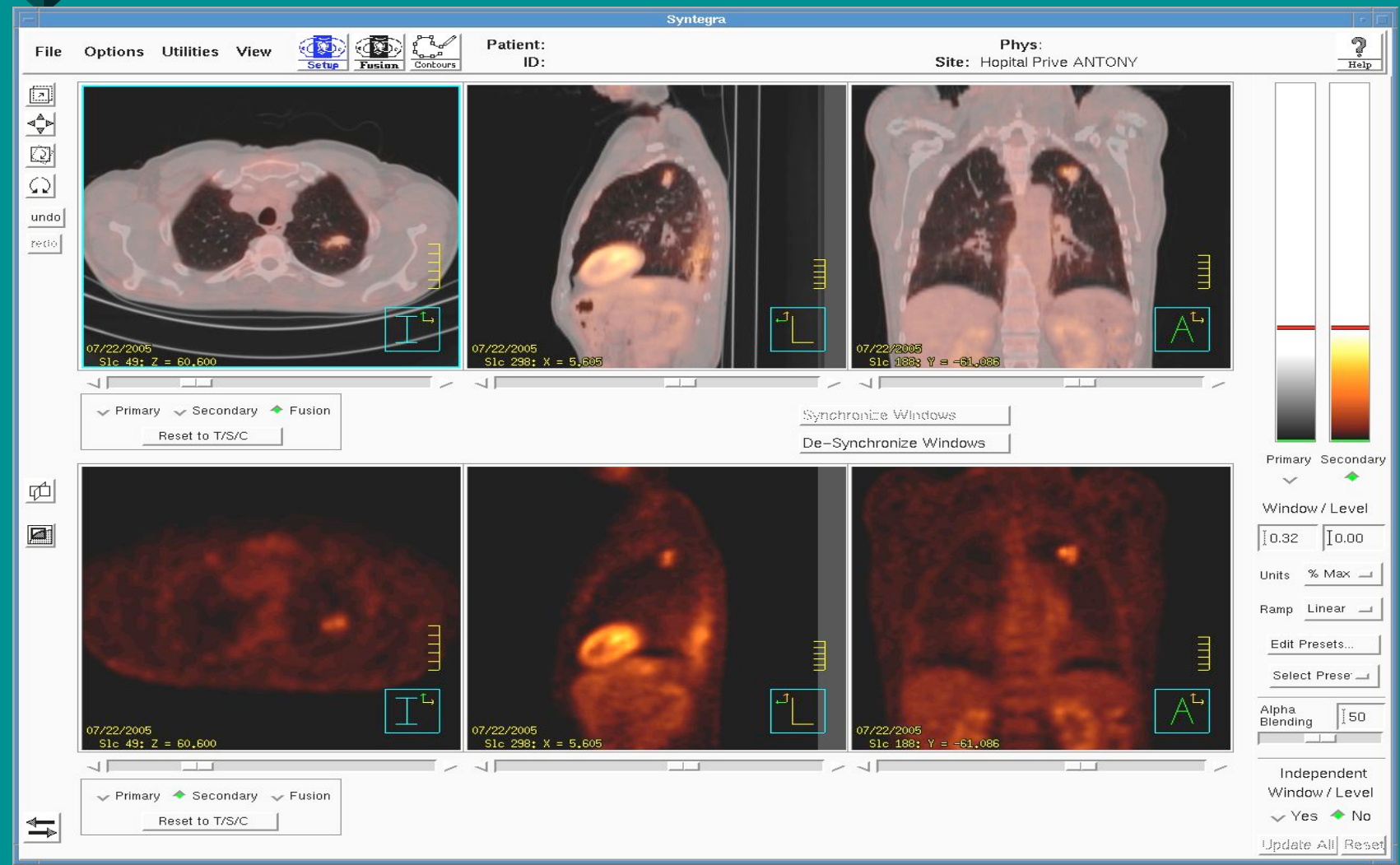
Sarcoïdosis



Brown fat uptake

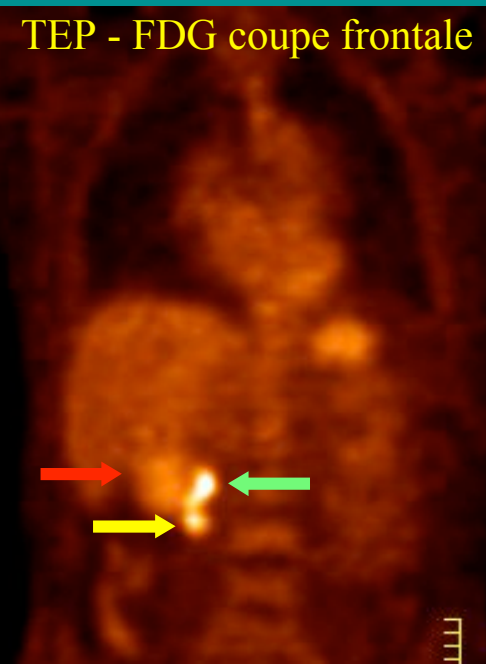
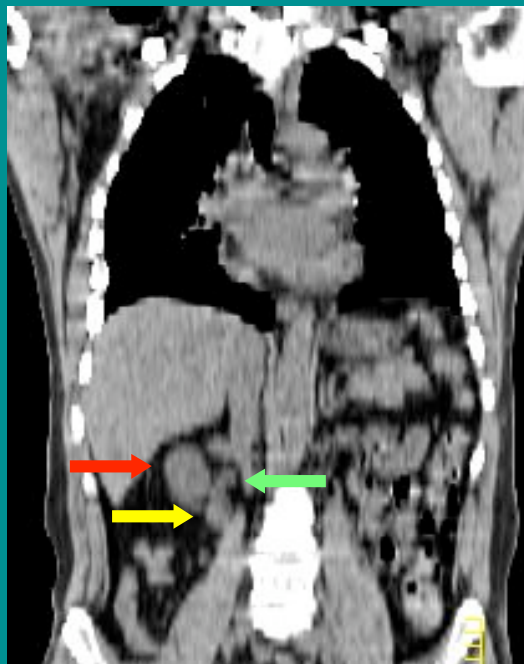
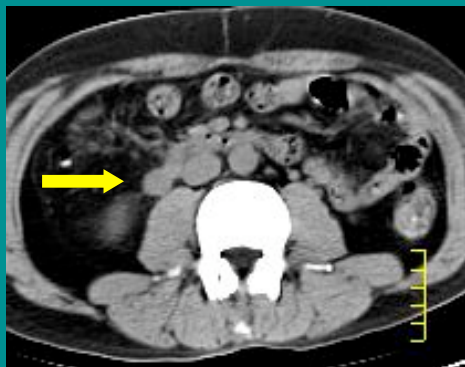


Caractérisation d'un nodule pulmonaire du LSG - Tuberculose



Pitfalls and artifacts

Antécédent de cancer colique opéré: diagnostic de malignité d'un ganglion rétropéritonéal



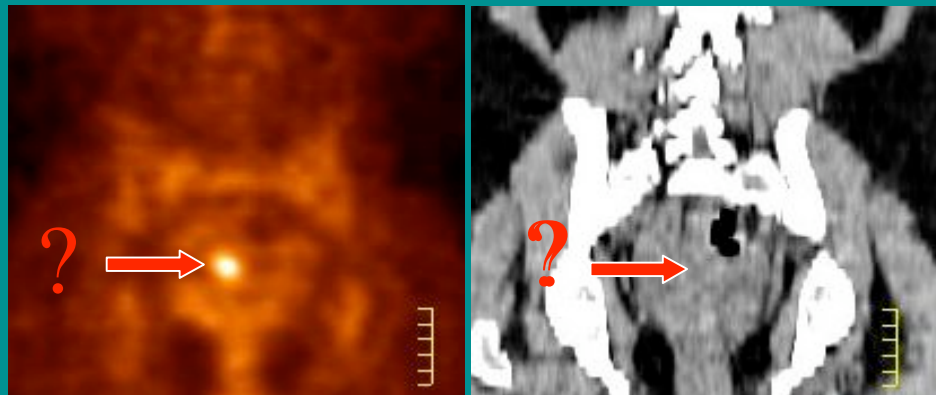
Adénopathie maligne

Rein

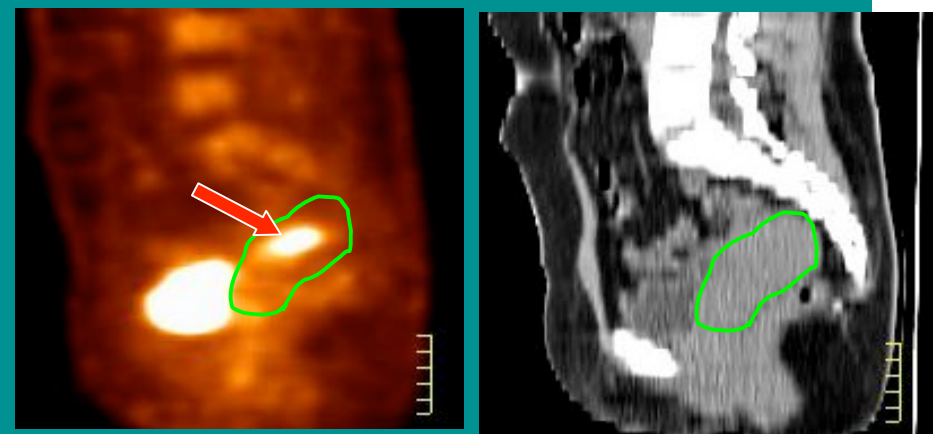
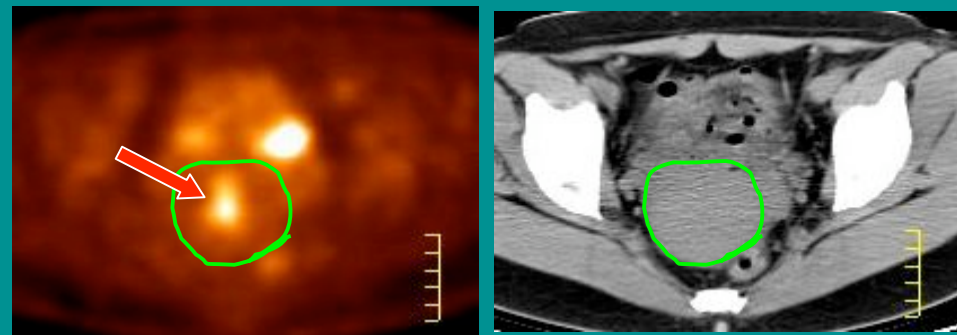
Stase urétérale de traceur

Pitfalls and artifacts

Bilan d'extension d'un lymphome



Cavité utérine en phase
menstruelle,
= fixation muqueuse



Utérus



Perspectives

Autres traceurs TEP en oncologie :

- ❖ Prolifération cellulaire : ^{18}F -Fluoro-thymidine
- ❖ Synthèse protéique : ^{11}C -méthionine
- ❖ Hypoxie cellulaire : ^{18}F -Fluoromisonidazole
- ❖ Captation médicamenteuse : ^{18}F -Fluorouracil
- ❖ Et encore... La ^{11}C -Choline, le ^{18}F -Choline...

TEP - FDG, TEP - FLT, TEP - Choline, etc....



Impact économique :

- * Examen cher, remboursé par la SS:

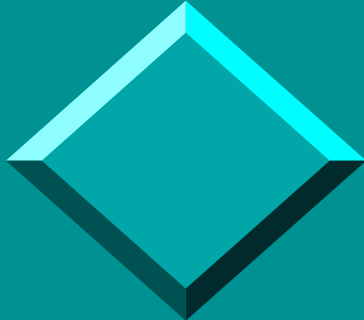
1 000 € / 1000 examen (forfait technique) puis 550 €

+ 89,54 € / examen (honoraires médecin)

2,5 M€ l'appareil TEP-TDM

400 € la dose de FDG

- * Economie de santé prouvée dans tous les pays, par la diminution du nombre de procédures invasives et le meilleur ajustement du traitement
- * Beaucoup plus d'indications remboursables par Medicare aux USA (économie grâce au TEP en 2004: 3003 \$/patient)



Perspectives :

- * Etudes TEP avec de **nouveaux traceurs** plus spécifiques des métabolismes des cellules néoplasiques (**18F-Choline, 11C-Choline, 11C-Acétate, 18F-Fluorothymidine, 18F-Fluorodopa, 18F-FNa...**)
- * Dosimétrie **patient**:
 - 18 mSv/ex (1/3 TEP-2/3 TDM)
 - irradiation naturelle: 2,4 mSv/an
 - radio pulmonaire: 0,1 mSv
- * Dosimétrie **personnel soignant**: 3 μ Sv/ex (LMA: 20 mSv/an)



Conclusion

FDG PET-CT and liver metastases from colorectal cancer

- ❖ FDG PET-CT is not the illustration of the Holy Bible
- ❖ This is in an other hand a wonderful tool for cancerologic investigations and specially for colorectal cancer management giving informations for liver and whole body staging with high accuracy
- ❖ Artifacts and pitfalls must be known by every one and the clinical history of the patient well known by the nuclear medicine physician
- ❖ Importance of PET before liver surgery (other localization) and probably more and more for therapeutic evaluation